

1 Literaturverzeichnis

- [1] Deutsches Institut für Normung, DIN EN 1992-1-1/NA, Berlin: Beuth Verlag, Januar 2011.
- [2] E. Dutulescu, „Zur Ermittlung der Beton- und Stahlspannungen.,“ *Beton- und Stahlbetonbau*, pp. 388-400, Mai 2004.
- [3] Deutsches Institut für Normung, DIN EN 1992-1-1, Berlin: Beuth Verlag, Januar 2011.
- [4] K. Zilch und G. Zehetmaier, Bemessung im konstruktiven Betonbau, München: Springer Verlag, Juni 2009.
- [5] M. Krüger, Spannbetonbau-Praxis nach Eurocode 2, 3.Auflage, Berlin: Beuth Verlag, 2012.
- [6] Schneider, Bautabellen für Ingenieure, 20. Auflage, Köln: Werner Verlag, 2012.
- [7] F. Fingerloos, J. Hegger und K. Zilch, Eurocode 2 für Deutschland, Kommentierte Fassung, Berlin: Ernst & Sohn, Beuth, 2012.
- [8] Skript Hochschule 21, „Platten,“ Sept. 2013. [Online]. Available: http://extra.hs21.de/seiten/goettsche/_private/K11_Platten.pdf. [Zugriff am 19 November 2013].
- [9] Wommelsdorf, Stahlbeton, Bemessung und Konstruktion Teil1+2, Werner Verlag, 2011.
- [10] Vorlesungsfolien KIT, Bemessung und Konstruktion von Bauteilen im Stahlbeton, Karlsruhe, WS2013/2014.
- [11] Deutscher Beton- und Bautechnik- Verein, Beispiele zur Bemessung nach DIN 1045-1 Band 1: Hochbau, Berlin: Ernst u. Sohn, 2005.
- [12] Hochschule für Technik Stuttgart, Skript Stahlbetonbau 2, Stuttgart, SS 2013.
- [13] P. D.-I. R. Baumgart, Skript Massivbau Hochschule Darmstadt, Darmstadt, 2013.
- [14] P. D.-I. R. Ufer. [Online]. Available: http://www.fh-kl.de/fileadmin/bg.fh-kl.de/Bl/Professoren/vomUfer/pdf/Formelsammlung_BB_Ms_2012.pdf. [Zugriff am 29 Juni 2014].
- [15] P. D.-I. R. Avak und D.-I. R. Glaser, Spannbetonbau - Theorie, Praxis, Berechnungsbeispiele, Berlin: Bauwerk Verlag, 2005.

2 Ermittlung der Betondeckung

| 2.1 Mindestbetondeckung | | | | | | | | |
|--|--|-----|----------|-----|----------|----------|----------|----|
| $c_{\min} = \max \left\{ \begin{array}{l} c_{\min,b} \\ c_{\min,dur} + \Delta c_{dur,y} - \Delta c_{dur,st} - \Delta c_{dur,add} \\ 10 \text{mm} \end{array} \right\}$ <p>Bei Mechanischer Exposition Opferbeton zu c_{\min} dazu addieren! (XM 1: + 5mm, XM2: + 10mm, XM3: +15mm)</p> | <p>$c_{\min,b}$: [mm] Mindestbetondeckung aus Verbundanforderungen Betonstahl: $c_{\min,b} = \text{Stabdurchmesser}$ Spannstahl: $c_{\min,b} = \emptyset_n$ (Vergleichsdurchmesser) Rundes Hüllrohr von Spannstahl: $c_{\min,b} = \emptyset_{duct} \leq 80 \text{mm}$ Rechteckiges Hüllrohr ($a \leq b$): $c_{\min,b} = \max \{a; b/2\} \leq 80 \text{mm}$ Litzen, profilierte Drähte (s. Verbund): $c_{\min,b} = 2,5 \cdot \emptyset_p$ $c_{\min,dur}$: [mm] Mindestbetondeckung aus Dauerhaftigkeitsanforderung (siehe Tab. unten) $\Delta c_{dur,y}$: [mm] additives Sicherheitselement (siehe Tab. unten) $\Delta c_{dur,st}$: [mm] bei Verwendung von nichtrostendem Stahl (i.d.R. = 0) $\Delta c_{dur,add}$: [mm] bei zusätzlichen Schutzmaßnahmen (i.d.R. = 0)</p> | | | | | | | |
| 2.2 Nennmaß der Betondeckung | | | | | | | | |
| $c_{\text{nom}} = c_{\min} + \Delta c_{\text{dev}}$ [mm] \rightarrow aufrunden auf 5 mm $\rightarrow = c_{\text{vl}}$ | | | | | | | | |
| c_{dev} : [mm] Vorhaltemaß für unplanmäßige Abweichungen durch die Bauausführung. Verbundanforderung ($c_{\min,b}$) maßgebend: $\Delta c_{\text{dev}} = 10 \text{ mm}$ Dauerhaftigkeitsanforderung ($c_{\min,dur}$) maßgebend: $\Delta c_{\text{dev}} = 15 \text{ mm}$ Dauerhaftigkeitsanforderung ($c_{\min,dur}$) maßgebend und XC1: $\Delta c_{\text{dev}} = 10 \text{ mm}$ Fund. mit Sauberkeitschicht von $d = 5-10 \text{ cm}$: $\Delta c_{\text{dev}} + 20 \text{ mm}$ s.DIN EN 1992-1-1 4.4.1.3(4) Fund. und betonieren gegen Erdreich: $\Delta c_{\text{dev}} + 50 \text{ mm}$ s.DIN EN 1992-1-1 4.4.1.3(4) c_{vl} : [mm] Verlegemaß (muss auf Plänen angegeben werden!) | | | | | | | | |
| Expositionsklasse | X0 | XC1 | XC2, XC3 | XC4 | XD1, XS1 | XD2, XS2 | XD3, XS3 | |
| $c_{\min,dur}$ | Betonstahl | 10 | 10 | 20 | 25 | 30 | 35 | 40 |
| | Spannstahl | 10 | 20 | 30 | 35 | 40 | 45 | 50 |
| $\Delta c_{\text{dur,y}}$ | Betonstahl | 0 | | | | 10 | 5 | 0 |
| | Spannstahl | 0 | | | | 10 | 5 | 0 |
| Hinweis: diese Tab. entspricht der Tab. 4.4DE und Tab. 4.5DE | | | | | | | | |

3 Einwirkungskombinationen (vereinfacht)

| 3.1 Einwirkungskombination im GZT | | | |
|---|----------|--|--|
| $E_d = \gamma_G \cdot G_k + \gamma_Q \cdot Q_{k,1} + \sum [\gamma_Q \cdot \psi_{0,i} \cdot Q_{k,i}]$ | | | Ungünstige Wirkung: $\gamma_G: [] = 1,35$ $\gamma_Q: [] = 1,5$ Günstige Wirkung: $\gamma_G: [] = 1,0$ $\gamma_Q: [] = 1,5$ $\psi_{0,i}: [] \rightarrow$ siehe Tabelle |
| 3.2 Ermittlung der Einwirkungskombination im GZG | | | |
| 3.2.1 Charakteristische Kombination (früher seltene Kombination) | | | |
| $p_{d,char} = g_k + q_{1,k} + \sum_{i>1} \psi_{0,i} \cdot q_{i,k}$ [kN/m] | | $\psi_{0,i}: []$ Kombinationsbeiwert; siehe Tabelle 1 | |
| 3.2.2 Quasi-ständige Kombination | | | |
| $p_{d,perm} = g_k + \sum_{i>1} \psi_{2,i} \cdot q_{i,k}$ [kN/m] | | $\psi_{2,i}: []$ Kombinationsbeiwert; siehe Tabelle 1 | |
| 3.2.3 Häufige Kombination | | | |
| $p_{d,freq} = g_k + \psi_{1,1} \cdot q_{1,k} + \sum_{i>1} \psi_{2,i} \cdot q_{i,k}$ [kN/m] | | | |
| 3.3 Tabelle mit Kombinationsbeiwerten – DIN EN 1990/NA | | | |
| Einwirkung | ψ_0 | ψ_1 | ψ_2 |
| Nutzlasten im Hochbau (Kategorien siehe EN 1991-1-1) ^a | | | |
| — Kategorie A: Wohn- und Aufenthaltsräume | 0,7 | 0,5 | 0,3 |
| — Kategorie B: Büros | 0,7 | 0,5 | 0,3 |
| — Kategorie C: Versammlungsräume | 0,7 | 0,7 | 0,6 |
| — Kategorie D: Verkaufsräume | 0,7 | 0,7 | 0,6 |
| — Kategorie E: Lagerräume | 1,0 | 0,9 | 0,8 |
| — Kategorie F: Verkehrsflächen, Fahrzeuglast ≤ 30 kN | 0,7 | 0,7 | 0,6 |
| — Kategorie G: Verkehrsflächen, $30 \text{ kN} \leq \text{Fahrzeuglast} \leq 160$ kN | 0,7 | 0,5 | 0,3 |
| — Kategorie H: Dächer | 0 | 0 | 0 |
| Schnee- und Eislasten, siehe DIN EN 1991-1-3 | | | |
| — Orte bis zu NN + 1 000 m | 0,5 | 0,2 | 0 |
| — Orte über NN + 1 000 m | 0,7 | 0,5 | 0,2 |
| Windlasten, siehe DIN EN 1991-1-4 | 0,6 | 0,2 | 0 |
| Temperatureinwirkungen (nicht Brand), siehe DIN EN 1991-1-5 | 0,6 | 0,5 | 0 |
| Baugrundsetzungen, siehe DIN EN 1997 | 1,0 | 1,0 | 1,0 |
| Sonstige Einwirkungen ^{b,c} | 0,8 | 0,7 | 0,5 |
| ^a Abminderungsbeiwerte für Nutzlasten in mehrgeschossigen Hochbauten siehe DIN EN 1991-1-1. | | | |
| ^b Flüssigkeitsdruck ist im allgemeinen als eine veränderliche Einwirkung zu behandeln, für die die ψ -Beiwerte standortbedingt festzulegen sind. Flüssigkeitsdruck, dessen Größe durch geometrische Verhältnisse begrenzt ist, darf als eine ständige Einwirkung behandelt werden, wobei alle ψ -Beiwerte gleich 1,0 zu setzen sind. | | | |
| ^c ψ -Beiwerte für Maschinenlasten sind betriebsbedingt festzulegen. | | | |

Tabelle 1: Kombinationsbeiwerte im Hochbau [1]

4 Schnittgrößen infolge äußerer Einwirkung

4.1 Zweifeldträger

Stützmoment:

$$M_{g/q} = \frac{q \cdot L^2}{8} \text{ [kNm]}$$

Feldmoment: (an der Stelle x = 0,375*L)

$$M_g = 0,07 \cdot g \cdot L^2 \text{ [kNm]}$$

$$M_q = 0,096 \cdot q \cdot L^2 \text{ [kNm]}$$

5 Schnittgrößen infolge Vorspannung

5.1 Vorspannkraft unmittelbar nach Absetzen der Presse

$$P_{m0} = \sigma_{pm0} \cdot A_p \text{ [kN]}$$

A_p : [cm²] gewählter Spannstahlquerschnitt

σ_{pm0} : [kN/cm²] Zulässige Spannstahlspannung nach Lösen der Verankerung

5.2 Statisch bestimmte Systeme

Hinweis zum Vorgehen:

Die Schnittgrößen aus Vorspannung können berechnet werden, wenn die Einleitungs- und Umlenkkräfte als äußere Lasten angesehen werden (Umlenkkraftmethode). Die Einleitungs- und Umlenkkräfte werden wie für äußere Lasten üblich auf die Schwerelinie des Querschnitts angesetzt. Wenn die Krafteinleitung nicht in Systemebene liegt entstehen zusätzlich Momente.

5.2.1 Schnittgrößen über Gleichgewicht

→ Kräftegleichgewicht bilden

$$M_{pm} = P_{m0} \cdot z_{cp} \text{ [kNm]}$$

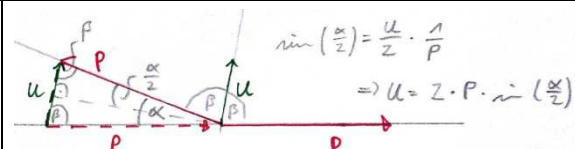
5.2.2 Schnittgrößen über Umlenkkräfte

5.2.2.1 polygonal geführtes Spannglied

$$U = 2 \cdot P \cdot \sin\left(\frac{\alpha}{2}\right) \text{ [kN]}$$

$$U_H = U \cdot \sin\left(\frac{\alpha}{2}\right) \text{ [kN]}$$

$$U_V = U \cdot \cos\left(\frac{\alpha}{2}\right) \text{ [kN]}$$



5.2.2.2 stetig gekrümmtes Spannglied

$$u_p = \frac{P}{R} \text{ [kN/m]} \quad \text{oder} \quad u_p = \frac{8 \cdot P \cdot f}{L^2} \text{ [kN/m]}$$

P: [kN] Vorspannkraft

R: [m] Krümmungsradius

5.3 Statisch unbestimmte Systeme (Schnittgrößen nur über Umlenkkräfte)

5.3.1 Ermittlung der Umlenkkräfte

5.3.1.1 Abschnittsweise kreisförmiger Spanngliedverlauf

$$u_p = \frac{P}{R} \text{ [kN/m]} \quad \text{oder} \quad u_p = \frac{8 \cdot P \cdot f}{L^2} \text{ [kN/m]}$$

Hinweis: Herleitung siehe Anhang

P: [kN] Vorspannkraft

R: [m] Krümmungsradius

L: [m] Länge über die das Spannglied kreisförmig verläuft

5.3.2 Schnittgrößen mit Tabellenwerken

Hinweis: nur bei symmetrischen Tragwerken!

2-Feldträger:

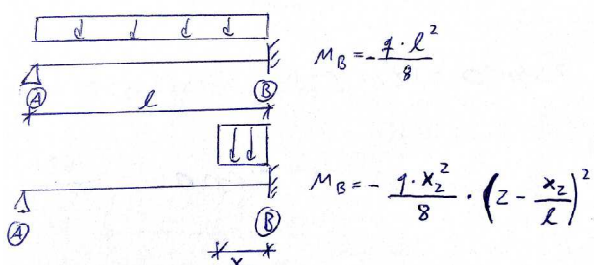
$$M_{p,St} = M_{p,B1} + M_{p,B2} \text{ [kNm]}$$

$M_{p,F}$ aus ΣM (maximales Feldmoment bei $x \approx 0,4 \cdot L$)

$$M_p = M_{p,direkt} + M_{p,ind} \text{ [kNm]}$$

$M_{p,direkt}$: [kNm] Momentenanteil infolge Vorspannung am statisch bestimmten System. $M_{p,direkt}$ verläuft affin zur Gesamtmomentenlinie

$M_{p,ind}$: [kNm] Momentenanteil infolge Vorspannung am statisch unbestimmten System.



5.3.3 Schnittgrößen mit Kraftgrößenverfahren

$$\delta_{10} + X_1 \cdot \delta_{11} + X_2 \cdot \delta_{12} = 0$$

$$\delta_{20} + X_1 \cdot \delta_{21} + X_2 \cdot \delta_{22} = 0$$

$$M_p(x) = M_p^0(x) + X_1 \cdot M_1(x) + X_2 \cdot M_2(x)$$

6 Bruttoquerschnittswerte

$$A_c = \sum (b_i \cdot h_i) \quad [cm^2]$$

$$z_s = \frac{\sum A_i \cdot z_i}{A_{cb}} \quad [cm]$$

$$I_c = \frac{\sum b_i \cdot h_i^3}{12} + \sum A_i \cdot z_i^2$$

$$W_{cu} = \frac{I_c}{z_{cu}} \quad [cm^3]$$

$$W_{co} = \frac{I_c}{z_{co}} \quad [cm^3]$$

7 Nettoquerschnittswerte

7.1 Anwendung:

- Spannungsberechnung bei Vorspannung mit nachträglichem Verbund für Lastfälle vor Herstellung des Verbundes.
- Für Vorspannung ohne und mit nachträglichem Verbund.

7.2 Nettoquerschnittswerte mit Hüllrohr:

$$A_{cn} = A_c - A_{duct} \quad [cm^2]$$

$$e_{cn} = \frac{A_c \cdot e_c - A_{duct} \cdot e_{duct}}{A_{cn}} \quad [cm]$$

$$z_{cnp} = \frac{A_c \cdot z_{cp}}{A_{cn}} \quad [cm]$$

$$(aus: e_{cn} - e_{duct} = \frac{A_c \cdot e_c - A_{duct} \cdot e_{duct}}{A_{cn}} - e_{duct})$$

$$I_{cn} = I_c + A_{cn} \cdot (e_{cn} - e_c)^2 - A_{duct} \cdot (z_{cnp})^2 \quad [cm^4]$$

A_c : [cm²] Bruttoquerschnittsfläche des Betons

A_{duct} : [cm²] Querschnittsfläche des Hüllrohrs; $A_{duct} = \frac{\pi \cdot d^2}{4}$

(Hinweis: engl. duct = Kabelkanal, Rohr, Führung)

e_{cn} : [cm]

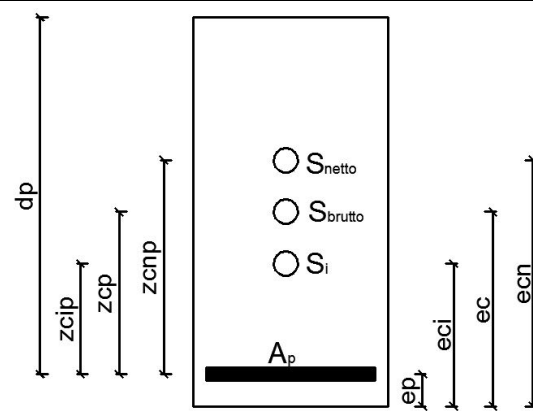


Abbildung 1: Querschnittsbezeichnungen

8 Ideale Querschnittswerte

8.1 Anwendung:

- Spannungsberechnung bei Vorspannung für alle Lastfälle sobald der Verbund hergestellt ist.
- Reine Rechengröße

$$A_{ci} = A_c + (\alpha_p - 1) \cdot A_p + (\alpha_e - 1) \cdot A_s \quad [cm^2]$$

$$e_{ci} = \frac{A_c \cdot e_c + (\alpha_p - 1) \cdot A_p \cdot e_p + (\alpha_e - 1) \cdot A_s \cdot e_s}{A_{ci}} \quad [cm]$$

$$I_{ci} = I_c + A_c \cdot (e_c - e_{ci})^2 + (\alpha_p - 1) \cdot A_p \cdot (e_{ci} - e_p)^2 + (\alpha_e - 1) \cdot A_s \cdot (e_{ci} - e_s)^2 \quad [cm^4]$$

$$z_{cip} = \frac{A_c \cdot z_{cp}}{A_{ci}} \quad [cm]$$

$$W_{i,o} = \frac{l_i}{h - e_{ci}} \quad [cm^3] \quad W_{i,u} = \frac{l_i}{e_{ci}} \quad [cm^3]$$

E_s : [N/mm²] Litze = 195.000
Rundstab + Draht = 205.000

$$\alpha_e = \frac{E_s}{E_c}$$

$$\alpha_p = \frac{E_p}{E_c}$$

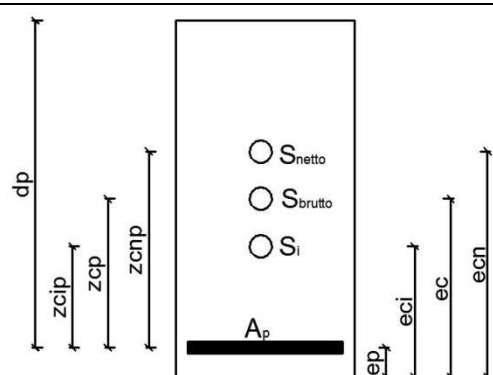


Abbildung 2: Querschnittsbezeichnungen

9.1 Biegung und Normalkraft

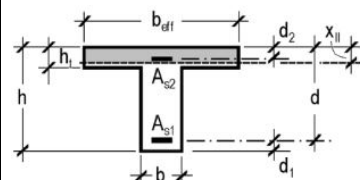


Abbildung 3: [2]

$$e_0 = \frac{|M_{Ed,A} \cdot 100|}{N_{Ed}} \text{ [cm]}$$

(N_{Ed} mit Vorzeichen!)

$$e_{c2} = e_0 + z_g \text{ [cm]}$$

$$e_{s1} = e_{c2} - d \text{ [cm]}$$

$$e_{s2} = e_{c2} - d_2 \text{ [cm]}$$

Hinweis:
gilt auch für einen
Rechteckquerschnitt

Druckzonenhöhe: (durch lösen des Polyn. 3.Grades)

$$x_{||}^3 + A \cdot x_{||}^2 + B \cdot x_{||} + C = 0$$

Hinweis: Das Polynom 3. Grades kann z.B. mit dem Newton-Raphson Verfahren gelöst werden:

$$x_{i+1} = x_i - \frac{f(x_i)}{f'(x_i)}$$

mit:

$$A = -3 \cdot e_{c2}$$

$$B = -\frac{6}{b_{eff}} \cdot D$$

$$C = +\frac{6}{b_{eff}} \cdot E$$

$$D = \alpha_e \cdot (A_{s1} \cdot e_{s1} + A_{s2} \cdot e_{s2})$$

$$E = \alpha_e \cdot (A_{s1} \cdot e_{s1} \cdot d + A_{s2} \cdot e_{s2} \cdot d_2)$$

Ideelles Statisches Moment: (um die Nulllinie)

$$S_{i,NL} = \left| \frac{1}{2} \cdot b_{eff} \cdot x_{||}^2 + \alpha_e \cdot A_{s1} \cdot (x_{||} - d) + \alpha_e \cdot A_{s2} \cdot (x - d_2) \right| \text{ [cm}^3]$$

A_{s1} : [cm²] Querschnittsfläche der unteren Zugbewehrung (inklusive Spannstahl)
 A_{s2} : [cm²] Querschnittsfläche der oberen Zugbewehrung (inklusive Spannstahl)

b : [cm] Querschnittsbreite

b_{eff} : [cm] effektive Querschnittsbreite des PB

d : [cm] statische Nutzhöhe (bezogen auf Schwerpunkt von A_s und A_p)

d_2 : [cm] Abstand zwischen Druckbewehrung und Oberkante des Querschnittes

α_e : [] Verhältnis der E-Moduli;

$$\alpha_e = E_s/E_c$$

E_s : [N/mm²] E-Modul des Betonstahls;

$$E_s = 200.000$$

E_c : [N/mm²] E-Modul des Beton

z_g : [cm] Abstand zwischen Schwerpunkt und Oberkante des Querschnittes

$M_{Ed,A}$: [kNm] einwirkendes Biegemoment bezogen auf die Schwereachse A

$$M_{Ed,A} = M_{Ed} + N_{Ed} \cdot z_{cp}$$
 (vorzeichengerecht)

M_{Ed} : [kNm] Moment infolge äußerer Lasten (maßgebende EWK beachten)

N_{Ed} : [kN] einwirkende Normalkraft

(Druck negativ)

Bei Spannbeton: $N_{Ed} = r_{inf} \cdot F_{pd}$
(unterer Grenzwert maßgebend)

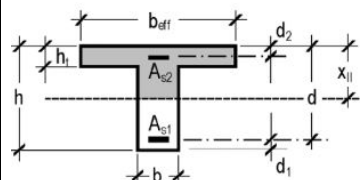


Abbildung 4: [2]

$$e_0 = \frac{|M_{Ed,A} \cdot 100|}{N_{Ed}} \text{ [cm]}$$

(N_{Ed} mit Vorzeichen!)

$$e_{c2} = e_0 + z_g \text{ [cm]}$$

$$e_{s1} = e_{c2} - d \text{ [cm]}$$

$$e_{s2} = e_{c2} - d_2 \text{ [cm]}$$

Druckzonenhöhe: (durch lösen des Polyn. 3.Grades)

$$x_{||}^3 + A \cdot x_{||}^2 + B \cdot x_{||} + C = 0$$

Hinweis: Das Polynom 3. Grades kann z.B. mit dem Newton-Raphson Verfahren gelöst werden:

$$x_{i+1} = x_i - \frac{f(x_i)}{f'(x_i)}$$

mit:

$$A = -3 \cdot e_{c2}$$

$$B = -\frac{3}{b} \cdot (2 \cdot D + 2 \cdot F - G)$$

$$C = \frac{1}{b} \cdot [6 \cdot E + h_t \cdot (3 \cdot F - G)]$$

$$D = \alpha_e \cdot (A_{s1} \cdot e_{s1} + A_{s2} \cdot e_{s2})$$

$$E = \alpha_e \cdot (A_{s1} \cdot e_{s1} \cdot d + A_{s2} \cdot e_{s2} \cdot d_2)$$

$$F = h_t \cdot (b_{eff} - b) \cdot e_{c2}$$

$$G = h_t^2 \cdot (b_{eff} - b)$$

Ideelles Statisches Moment: (um die Nulllinie)

$$S_{i,NL} = \left| \frac{1}{2} \cdot b \cdot x_{||}^2 + h_t \cdot (b_{eff} - b) \cdot (x_{||} - \frac{1}{2} \cdot h_t) + \alpha_e \cdot A_{s1} \cdot (x_{||} - d) + \alpha_e \cdot A_{s2} \cdot (x - d_2) \right| \text{ [cm}^3]$$

A_{s1} : [cm²] Querschnittsfläche der unteren Zugbewehrung (inklusive Spannstahl)
 A_{s2} : [cm²] Querschnittsfläche der oberen Zugbewehrung (inklusive Spannstahl)

b : [cm] Querschnittsbreite

b_{eff} : [cm] effektive Querschnittsbreite des PB

d : [cm] statische Nutzhöhe (bezogen auf Schwerpunkt von A_s und A_p)

d_2 : [cm] Abstand zwischen Druckbewehrung und Oberkante des Querschnittes

α_e : [] Verhältnis der E-Moduli;

$$\alpha_e = E_s/E_c$$

E_s : [N/mm²] E-Modul des Betonstahls;

$$E_s = 200.000$$

E_c : [N/mm²] E-Modul des Beton

z_g : [cm] Abstand zwischen Schwerpunkt und Oberkante des Querschnittes

$M_{Ed,A}$: [kNm] einwirkendes Biegemoment bezogen auf die Schwereachse A

$$M_{Ed,A} = M_{Ed} + N_{Ed} \cdot z_{cp}$$
 (vorzeichengerecht)

M_{Ed} : [kNm] Moment infolge äußerer Lasten (maßgebende EWK beachten)

N_{Ed} : [kN] einwirkende Normalkraft

(Druck negativ)

Bei Spannbeton: $N_{Ed} = r_{inf} \cdot F_{pd}$
(unterer Grenzwert maßgebend)

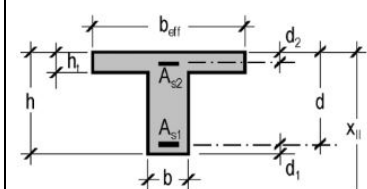


Abbildung 5: [2]

$$e_0 = \frac{|M_{Ed,A} \cdot 100|}{N_{Ed}} \text{ [cm]}$$

(N_{Ed} mit Vorzeichen!)

$$e_{c2} = e_0 + z_g \text{ [cm]}$$

$$e_{s1} = e_{c2} - d \text{ [cm]}$$

$$e_{s2} = e_{c2} - d_2 \text{ [cm]}$$

Druckzonenhöhe:

$$x_{||} = \frac{1}{3} \cdot \frac{b \cdot h^2 \cdot (3 \cdot e_{c2} - 2 \cdot h) + 6 \cdot E + h_t \cdot (3 \cdot F - 2 \cdot G)}{b \cdot h \cdot (2 \cdot e_{c2} \cdot h) + 2 \cdot D + 2 \cdot F - G} \geq h$$

mit:

$$D = \alpha_e \cdot (A_{s1} \cdot e_{s1} + A_{s2} \cdot e_{s2})$$

$$E = \alpha_e \cdot (A_{s1} \cdot e_{s1} \cdot d + A_{s2} \cdot e_{s2} \cdot d_2)$$

$$F = h_t \cdot (b_{eff} - b) \cdot e_{c2}$$

$$G = h_t^2 \cdot (b_{eff} - b)$$

Ideelles Statisches Moment: (um die Nulllinie)

$$S_{i,NL} = b \cdot h \cdot (x_{||} - \frac{1}{2} \cdot h) \\ + h_t \cdot (b_{eff} - b) \cdot (x_{||} - \frac{1}{2} \cdot h_t) \\ + \alpha_e \cdot A_{s1} \cdot (x_{||} - d) \\ + \alpha_e \cdot A_{s2} \cdot (x - d_2) \text{ [cm}^3\text{]}$$

A_{s1}: [cm²] Querschnittsfläche der unteren Zugbewehrung (inklusive Spannstahl)

A_{s2}: [cm²] Querschnittsfläche der oberen Zugbewehrung (inklusive Spannstahl)

b: [cm] Querschnittsbreite

b_{eff}: [cm] effektive Querschnittsbreite des PB

d: [cm] statische Nutzhöhe (bezogen auf Schwerpunkt von A_s und A_p)

d₂: [cm] Abstand zwischen Druckbewehrung und Oberkante des Querschnittes

α_e: [] Verhältnis der E-Moduli;

$$\alpha_e = E_s/E_c$$

E_s: [N/mm²] E-Modul des Betonstahls;

$$E_s = 200.000$$

E_c: [N/mm²] E-Modul des Beton

z_g: [cm] Abstand zwischen Schwerpunkt und Oberkante des Querschnittes

M_{Ed,A}: [kNm] einwirkendes Biegemoment bezogen auf die Schwereachse A

$$M_{Ed,A} = M_{Ed} + N_{Ed} \cdot z_{cp} \text{ (vorzeichengerecht)}$$

M_{Ed}: [kNm] Moment infolge äußerer Lasten (maßgebende EWK beachten)

N_{Ed}: [kN] einwirkende Normalkraft (Druck negativ)

Bei Spannbeton: $N_{Ed} = r_{inf} \cdot F_{pd}$ (unterer Grenzwert maßgebend)

10 Bemessung eines Spannbetonträger

10.1 Vorgehensweise

- wenn der Spannstahlquerschnitt A_p bereits gegeben ist, können die Schnittgrößen infolge Vorspannung direkt ermittelt werden.
- Wenn der Spannstahlquerschnitt nicht gegeben ist, kann die Vorspannkraft über den Nachweis der Dekompression ermittelt werden. Dabei kann als Vorbemessung mit den Bruttoquerschnittswerten gerechnet werden.

11 Spanngliedführung

11.1 Allgemeines Vorgehen

- 1.) Ansatz für die Spanngliedführung wählen
- 2.) Bestimmung des Spanngliedverlaufes $z(x)$ durch einsetzen von Randbedingungen und lösen des LGS

Quadratischer Ansatz:

$$z(x) = a \cdot x^2 + b \cdot x + c$$

$$z'(x) = 2 \cdot a \cdot x + b$$

$$z''(x) = 2 \cdot a$$

Hinweis: $z(x)$ negativ wenn Parabel unterhalb der NL

11.2 Ermittlung des Krümmungsradius R

$$R = \frac{1}{z''(x)} \text{ [m]}$$

Hinweis: gilt nur für eine flache Spanngliedneigung. Herleitung siehe Anhang

$z''(x)$: [] 2. Ableitung des Spanngliedverlaufes

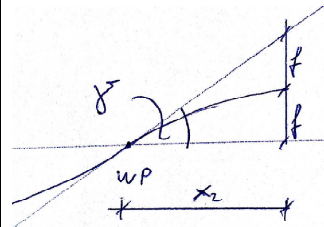
11.3 Ermittlung Parabelstich

1. Steigung am Wendepunkt zwischen 2 Parabeln bestimmen

$$2. Es gilt \tan \gamma = \frac{2 \cdot f}{x_2}$$

$$3. f = R - \sqrt{R^2 - \left(\frac{L}{2}\right)^2} \text{ [m]}$$

$$\text{oder: } f = \frac{L^2}{8 \cdot R} \text{ [m]}$$



L: [m] Abstand der 2 Wendepunkte

12 Vordimensionierung des Spannstahlquerschnittes

12.1 Allgemein

Die Spannstahlmenge kann innerhalb bestimmter Grenzen gewählt werden.

Als Entwurfskriterium für die Dimensionierung der Spannstahlmenge sollte bei überwiegend auf Biegung beanspruchten Bauteilen der Dekompressionsnachweis verwendet werden.

Eine weitere Grenze zur Ermittlung von A_p stellt der Nachweis der Betondruckspannungen dar.

Der Spannkraftverlust infolge Kriechen und Schwinden kann zunächst mit 15% angesetzt werden.

12.2 Vordimensionierung durch vereinfachten Nachweis der Dekompression

Hinweis:

Beim vereinfachten Nachweis der Dekompression (DAfStB Heft 600) ist der ganze Querschnitt überdrückt. (sichere Seite)

Alternativ kann der genauere Nachweis nach DIN EN 1992-1-1/NA; NCI zu 7.3.1(5) über die Grenzlinie der Dekompression geführt werden.

maßgebender Rand: (in der Regel)

Nachweis an der Stütze: oberer Rand zum Zeitpunkt $t=\infty$

Nachweis im Feld: unterer Rand zum Zeitpunkt $t=\infty$

1. bekannte Werte in folgende Gleichung einsetzen:

$t = 0$:

$$\sigma_{c(o/u)} = \left(-\frac{P_0}{A_c} \pm \frac{P_0 \cdot z_{cp}}{I_c} \cdot Z_{c(o/u)} \right) \cdot r_{sup/inf} \pm \frac{M_{perm} \cdot 100}{I_c} \cdot Z_{c(o/u)} \leq 0$$

$t = \infty$:

$$\sigma_{c(o/u)} = \left(-\frac{P_0 \cdot \alpha_{csr}}{A_c} \pm \frac{P_0 \cdot \alpha_{csr} \cdot z_{cp}}{I_c} \cdot Z_{c(o/u)} \right) \cdot r_{sup/inf} \pm \frac{M_{perm} \cdot 100}{I_c} \cdot Z_{c(o/u)} \leq 0$$

Hinweis:

Bei statisch unbestimmten Systemen gilt nicht $M_p = P_0 \cdot z_{cp}$!

Anstelle z_{cp} kann ein Faktor k , der dem Moment M_p an der betrachteten Stelle infolge $P = 1\text{MN}$ entspricht, eingesetzt werden. (z.B. $M_{p=1000} = 300 \text{kNm} \rightarrow k = 30$)
Falls der Momentenverlauf nicht gegeben ist, muss dieser zunächst für eine Kraft von 1MN ermittelt werden.

2. nach P_0 auflösen:

3. Ermittlung der erforderlichen Anzahl an Spannlitzen:

$$n = \frac{P_0}{A_{p,Litze} \cdot \sigma_{p0}} \quad []$$

M_{perm} : [kNm] Moment infolge äußerer Einwirkung (quasi ständige EWK)

A_c : [cm^2] Bruttoquerschnittsfläche

Die Vorspannung wirkt immer auf die gesamte Querschnittsfläche

I_c : [cm^4] Flächenträgheitsmoment (Bruttoquerschnitt) an der Stütze: I_c infolge $b_{eff,s}$

im Feld: I_c mit $b_{eff,f}$

z_{co} : [cm] Abstand zwischen Schwerlinie des Bruttoquerschnitts und oberem Querschnittsrand

z_{cu} : [cm] Abstand zwischen Schwerlinie des Bruttoquerschnitts und unterem Querschnittsrand

z_{cp} : [cm] Abstand zwischen Schwerlinie und Spanngliedlage

r_{sup} : [] Wert zur Berücksichtigung der Streuung der Vorspannkraft

Nachträglicher Verbund: $r_{sup} = 1,1$

Sofortiger Verbund/ Kein Verbund: $r_{sup} = 1,05$

r_{inf} : [] Wert zur Berücksichtigung der Streuung der Vorspannkraft

Nachträglicher Verbund: $r_{inf} = 0,9$

Sofortiger Verbund/ Kein Verbund: $r_{inf} = 0,95$

α_{csr} : [] Verlust aus Kriechen, Schwinden und Relaxation; i.d.R.: $\alpha_{csr} = 0,85$

σ_{p0} : [kN/cm^2] zulässige Spannstahlspannung nach Lösen der Verankerung

$A_{p,Litze}$: [cm^2] Querschnittsfläche einer Litze (aus der Zulassung)

12.3 Vordimensionierung durch Nachweis der Betondruckspannungen

Hinweis: maßgebend ist der Lastfall, bei dem die größte Druckspannung an einem der Querschnittsränder entsteht.

maßgebender Rand: (in der Regel)

Im Feld: unterer Rand zum Zeitpunkt t = 0

1. bekannte Werte in folgende Gleichung einsetzen:

t = 0:

$$\sigma_{c(o/u)} = \left(-\frac{P_0}{A_c} \pm \frac{P_0 \cdot z_{cp}}{I_c} \cdot Z_{c(o/u)} \right) \cdot r_{sup/inf} \pm \frac{M_{perm,0} \cdot 100}{I_c} \cdot Z_{c(o/u)} \geq -0,45 \cdot f_{ck}$$

t = ∞:

$$\sigma_{c(o/u)} = \left(-\frac{P_0 \cdot \alpha_{CSR}}{A_c} \pm \frac{P_0 \cdot \alpha_{CSR} \cdot z_{cp}}{I_c} \cdot Z_{c(o/u)} \right) \cdot r_{sup/inf} \pm \frac{M_{perm,\infty} \cdot 100}{I_c} \cdot Z_{c(o/u)} \geq -0,45 \cdot f_{ck}$$

Hinweis:

Bei statisch unbestimmten Systemen gilt nicht $M_p = P_0 \cdot z_{cp}$!

Anstelle z_{cp} kann ein Faktor k, der dem Moment M_p an der betrachteten Stelle infolge $P = 1\text{MN}$ entspricht, eingesetzt werden. (z.B. $M_{p=1000} = 300 \text{ kNm} \rightarrow k = 30$)

Falls der Momentenverlauf nicht gegeben ist, muss dieser zunächst für eine Kraft von 1MN ermittelt werden.

2. nach P_0 auflösen:

3. Ermittlung der erforderlichen Anzahl an Spannlitzen:

$$n = \frac{P_0}{A_{p,Litze} \cdot \sigma_{p0}} \quad []$$

$M_{perm,\infty}$: [kNm] Moment infolge äußerer Einwirkung zum Zeitpunkt t = ∞ (quasi ständige EWK)

$M_{perm,0}$: [kNm] Moment infolge äußerer Einwirkung zum Zeitpunkt t = 0 (quasi ständige EWK)

z_{c1} : [cm] Abstand zwischen Querschnittsrand 1 und Schwerlinie des Querschnitts

A_c : [cm²] Bruttoquerschnittsfläche

Die Vorspannung wirkt immer auf die gesamte Querschnittsfläche

I_c : [cm⁴] Flächenträgheitsmoment

(Bruttoquerschnitt)

an der Stütze: I_c infolge $b_{eff,S}$

im Feld: I_c mit $b_{eff,F}$

r_{sup} : [] Wert zur Berücksichtigung der Streuung der Vorspannkraft

Nachträglicher Verbund:

$r_{sup} = 1,1$

Sofortiger Verbund/ Kein Verbund:

$r_{sup} = 1,05$

σ_{p0} : [kN/cm²] zulässige Spannstahlspannung nach Lösen der Verankerung

$A_{p,Litze}$: [cm²] Querschnittsfläche einer Litze (aus der Zulassung)

12.4 Vordimensionierung - Platten

Maximaler Abstand der Spannglieder:

$$\max s = \frac{A_p \cdot \text{zul } \sigma_{pm0}}{\text{erf. } P_{m0}} \quad [m]$$

Hinweis: erf. P_{m0} entspricht der Vorspannkraft für 1m Plattenbreite.

zul σ_{pm0} : [kN/cm²] Zulässige Spannstahlspannung nach Lösen der Verankerung

A_p : [cm²] Spannstahlquerschnitt je Spannglied

erf. P_{m0} : [kN] erforderliche Vorspannkraft, damit die gewünschte Bedingung erfüllt ist. (z.B.: Biegemoment soll infolge Eigenlast gleich groß wie das Biegemoment infolge Vorspannung sein.)

13 Reibungsverluste beim Vorspannen

13.1 Planmäßiger Umlenkwinkel

Umlenkwinkel bei konstanter Krümmung:

$$\theta_{Ax} = \frac{1}{r} \cdot x \text{ [rad]}$$

Alternativ: (Wendepunkte liegen in einer Ebene)

$$\theta_{AB} = \arctan\left(\frac{2 \cdot f}{0,5 \cdot L}\right) \cdot 2 \cdot \frac{2 \cdot \pi}{360} \text{ [rad]}$$

Alternativ: (Wendepunkte liegen nicht in einer Ebene)

$$\theta_1 = \arctan(z'(x=A))$$

$$\theta_2 = \arctan(z'(x=B))$$

$$\theta_{AB} = (\theta_1 + \theta_2) \cdot \frac{2 \cdot \pi}{360} \text{ [rad]}$$

Hinweis: $\theta_{AB} = (\theta_1 - \theta_2) \cdot \frac{2 \cdot \pi}{360}$ wenn Spannkraftverluste im Bereich einer Tangentensteigung mit gleichem Vorzeichen ermittelt wird.

Umlenkwinkel bei Krümmung in zwei Raumrichtungen:

$$\sum \theta(x) = \sqrt{\sum \theta_y(x)^2 + \sum \theta_z(x)^2} \text{ [rad]}$$

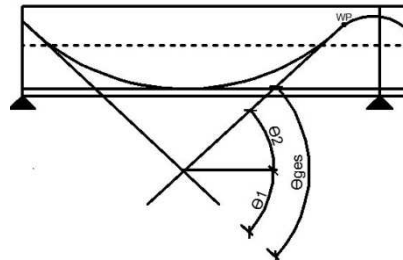
r: [m] Krümmungsradius

x: [m] Längenkoordinate des Trägers

L: [m] horizontaler Abstand zwischen zwei Wendepunkten

θ_{Ax} : [rad] Umlenkwinkel zwischen Wendepunkt A und Koordinate x

θ_{AB} : [rad] Umlenkwinkel zwischen Wendepunkt A und B



13.2 Summe der Umlenkinkel

$$\gamma_{Ax} = \theta_{Ax} + k \cdot x \cdot \frac{2 \cdot \pi}{360} \text{ [rad]}$$

$$\gamma' = \frac{\gamma_{Ax}}{x} \text{ [rad/m]}$$

x: [m] Längenkoordinate des Trägers

k: [°/m] ungewollter Umlenkwinkel

k aus Zulassung (zwischen 0,2 und 1,0)

θ_{Ax} : [rad] Planmäßiger Umlenkwinkel zwischen A und x; siehe oben

γ' : [rad/m] Umlenkwinkel je Meter

13.3 Spannkraft an der Stelle x

$$P_0 \cdot e^{-\mu \cdot \gamma} \text{ [kN]}$$

P_0 : [kN] Vorspannkraft an der Presse

μ : [] Reibungsbeiwert; siehe Zulassung mit Verbund: zwischen 0,15 und 0,3 ohne Verbund: ca. 0,06

γ : [rad] Summe der Umlenkinkel bis zur Stelle x

13.4 Blockierpunkt beim Nachlassen

Umlenkwinkel bis zum Blockierpunkt:

$$\gamma_{BI} = \frac{1}{2 \cdot \mu} \cdot \ln \frac{P_0}{P'_0} \quad (\text{aus: } P_0 \cdot e^{-\mu \cdot \gamma_{BI}} = P'_0 \cdot e^{-\mu \cdot \gamma_{BI}})$$

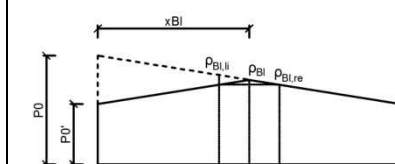
P_0 : [kN] Spannkraft an der Presse (z.B. durch Überspannen)

P'_0 : [kN] Nachlasskraft

γ : [rad/m] Umlenkwinkel je Meter

Grad der Spannkraft am Blockierpunkt:

$$\rho_{BI} = e^{-\mu \cdot \gamma_{BI}} \text{ []}$$



Grad der Spannkraft an der Ankerstelle:

$$\rho'_0 = e^{-2 \cdot \mu \cdot \gamma_{BI}} \text{ []}$$

Lage des Blockierungspunktes:

Durch lineare Interpolation:

$$x_{BI} = x_{BI,re} - (\rho_{BI} - \rho_{BI,li}) \cdot \left(\frac{x_{BI,re} - x_{BI,li}}{\rho_{BI,li} - \rho_{BI,re}} \right) \text{ [m]}$$

Alternativ:

$$x_{BI} = \frac{\gamma_{BI}}{\gamma'} \text{ [m]}$$

14 Spannwegberechnung

14.1 Berechnung Spannweg

Allgemein:

Die Flächenintegration des Spannkraftverlaufes (ohne Berücksichtigung des Keilschlupfes) ergibt die Fläche $A(\rho)$ zur Berechnung des Spannweges.

Anspannweg:

$$\Delta L_A = P_0 \cdot A_0 \cdot \left(\frac{1}{E_p \cdot A_p} + \frac{1}{E_c \cdot A_c} \right) [m]$$

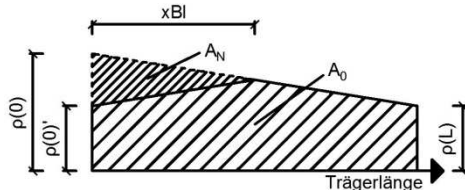
Nachlassweg:

$$\Delta L_N = P_0 \cdot A_N \cdot \left(\frac{1}{E_p \cdot A_p} + \frac{1}{E_c \cdot A_c} \right) [m]$$

Spannweg vor dem Verkeilen:

$$\Delta L = \Delta L_A - \Delta L_N$$

P_0 : [MN] Vorspannkraft vor dem Absetzen der Presse
 A_0 : [m] Fläche unter der Kurve des Spannkraftverlaufs
 A_N : [m] Nachlassfläche; $A_N = 0,5 \cdot [P(0) - p(0)] \cdot x_{BI}$
 E_p : [N/mm²] E-Modul des Spannstahls
 E_c : [N/mm²] E-Modul des Betons
 A_p : [m²] Spannstahlquerschnittsfläche
 A_c : [m²] Betonquerschnittsfläche



14.2 Einflusslänge des Keilschlups

1. Berechnung der Keilschlupffläche:

$$A_{Keil} = \frac{\Delta L_K}{P_0 \cdot \left(\frac{1}{E_p \cdot A_p} + \frac{1}{E_c \cdot A_c} \right)} [m]$$

2. Überprüfen an welcher Stelle der Blockierpunkt liegt

$$A_{Umlenkstelle1} = (1 - \rho_{Umlenkstelle1}) \cdot x_{Umlenkstelle1}$$

$A_{Keil} \leq A_{Umlenkstelle1} \rightarrow$ Blockierpunkt vor Umlenkpunkt ($|x_{BI}| \leq |x_{Umlenkstelle1}|$)

$A_{Keil} > A_{Umlenkstelle1} \rightarrow$ Blockierpunkt nach ≥ 1 Umlenkpunkt ($|x_{BI}| > |x_{Umlenkstelle1}|$)

P_0 : [MN]

L_k : [m] Einflusslänge des Keilschlups

ΔL_K : [m] Keilschlupf; aus Zulassung

L : [m] Abstand zwischen $\rho = 1,0$ und ρ_L

ρ_L : [] Vorspanngrad an der Stelle L

E_p : [N/mm²] E-Modul des Spannstahls

E_c : [N/mm²] E-Modul des Betons

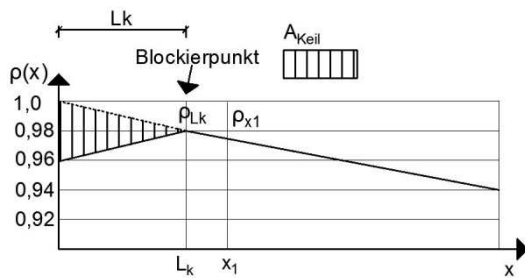
A_p : [m²] Spannstahlquerschnittsfläche

A_c : [m²] Betonquerschnittsfläche an der Spannstelle

3.1 Blockierpunkt vor Umlenkpunkt:

$$L_k = \sqrt{\frac{\Delta L_k \cdot L}{P_0 \cdot (1 - \rho_L) \cdot \left(\frac{1}{E_p \cdot A_p} + \frac{1}{E_c \cdot A_c} \right)}} [m]$$

$$\rho_{LK} = 1,0 - m \cdot L_k []$$



m : [] Steigung des Spannkraftverlaufes im Bereich des Blockierpunktes; $m = \frac{1,0 - \rho_{x1}}{x_k}$

Abbildung 6: Spannkraftverlauf ohne Umlenkstellen (z.B. Einfeldträger)

3.2: 1 Blockierpunkt nach einem Umlenkpunkt:

$$L_k = \sqrt{\frac{A_{Keil} + (\rho_{x1} - 1) \cdot x_1 + m \cdot x_1^2}{m}} [m] \quad (\text{Herleitung: siehe Anhang})$$

m : [] Steigung des Spannkraftverlaufes im Bereich des Blockierpunktes; $m = \frac{\rho_{x1} - \rho_{x2}}{x_2 - x_1}$

$$\rho_{LK} = \rho_{x1} - m \cdot (L_k - x_1) []$$

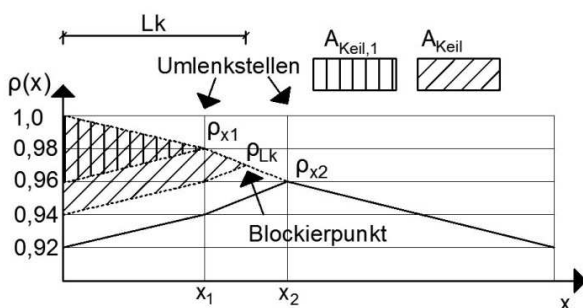


Abbildung 7: Spannkraftverlauf mit Umlenkstellen (z.B. bei Zweifeldträger)

Blockierpunkt nach mehreren Umlenkpunkten:

→ Iteratives Vorgehen

15 Ermittlung von Spannungen im Zustand 1

15.1 Sofortiger Verbund

15.1.1 Spannungen infolge Eigengewicht

$$\sigma_{co,g} = \frac{|N|}{A_{ci}} \pm \frac{|M_g \cdot 100|}{I_{ci}} \cdot (h - e_{ci}) \quad [\text{KN/cm}^2]$$

$$\sigma_{cu,g} = \frac{|N|}{A_{ci}} \pm \frac{|M_g \cdot 100|}{I_{ci}} \cdot e_{ci} \quad [\text{KN/cm}^2]$$

$$\sigma_{cp,g} = \frac{|N|}{A_{ci}} \pm \frac{|M_g \cdot 100|}{I_{ci}} \cdot (e_{ci} - e_p) \quad [\text{KN/cm}^2]$$

$$\Delta\sigma_{p,g} = \alpha_p \cdot \sigma_{cp,g} \quad [\text{KN/cm}^2]$$

15.1.2 Spannungen infolge Vorspannung

$$\sigma_{co,p} = - \frac{|P_{m0}|}{A_{ci}} \pm \frac{|M_p \cdot 100|}{I_{ci}} \cdot (h - e_{ci}) \quad [\text{KN/cm}^2]$$

$$\sigma_{cu,p} = - \frac{|P_{m0}|}{A_{ci}} \pm \frac{|M_p \cdot 100|}{I_{ci}} \cdot e_{ci} \quad [\text{KN/cm}^2]$$

$$\sigma_{cp,p} = - \frac{|P_{m0}|}{A_{ci}} \pm \frac{|M_p \cdot 100|}{I_{ci}} \cdot (e_{ci} - e_p) \quad [\text{KN/cm}^2]$$

Spannung im Spannstahl nach Lösen der Verankerung
 $\sigma_{pm0} = |\sigma_{p0}| - |\sigma_{cp,p}| \cdot \alpha_p \quad [\text{KN/cm}^2]$

oder:

$$\sigma_{pm0} = \frac{P_0}{A_p} \cdot (1 - \alpha_i) \quad [\text{kN/cm}^2]$$

$$\alpha_p = \frac{E_p}{E_{cm}}$$

$E_p: [\text{N/mm}^2]$ E-Modul des Spannstahls
 i.d.R. $E_p = 195.000 \text{ N/mm}^2$

$$E_{cm}: [\text{N/mm}^2]$$
 E-Modul des Betons

z_{cip} : [m] Abstand zwischen Schwerlinie des ideellen Querschnitts und des Spannglieds; $z_{cip} = e_{ci} - e_p$

15.1.3 Spannungen infolge Ausbaulast

$$\sigma_{co,\Delta g} = \frac{|N|}{A_{ci}} \pm \frac{|M_{\Delta g} \cdot 100|}{I_{ci}} \cdot (h - e_{ci}) \quad [\text{KN/cm}^2]$$

$$\sigma_{cu,\Delta g} = \frac{|N|}{A_{ci}} \pm \frac{|M_{\Delta g} \cdot 100|}{I_{ci}} \cdot e_{ci} \quad [\text{KN/cm}^2]$$

$$\sigma_{cp,\Delta g} = \frac{|N|}{A_{ci}} \pm \frac{|M_{\Delta g} \cdot 100|}{I_{ci}} \cdot (e_{ci} - e_p) \quad [\text{KN/cm}^2]$$

$$\Delta\sigma_{p,\Delta g} = \alpha_p \cdot \sigma_{cp,\Delta g} \quad [\text{KN/cm}^2]$$

15.1.4 Spannungen infolge Verkehrslast

$$\sigma_{co,q} = \frac{|N|}{A_{ci}} \pm \frac{|M_q \cdot 100|}{I_{ci}} \cdot (h - e_{ci}) \quad [\text{KN/cm}^2]$$

$$\sigma_{cu,q} = \frac{|N|}{A_{ci}} \pm \frac{|M_q \cdot 100|}{I_{ci}} \cdot e_{ci} \quad [\text{KN/cm}^2]$$

$$\sigma_{cp,q} = \frac{|N|}{A_{ci}} \pm \frac{|M_q \cdot 100|}{I_{ci}} \cdot (e_{ci} - e_p) \quad [\text{KN/cm}^2]$$

$$\Delta\sigma_{p,q} = \alpha_p \cdot \sigma_{cp,q} \quad [\text{KN/cm}^2]$$

15.2 Nachträglicher Verbund

15.2.1 Spannungen infolge Eigengewicht

$$\sigma_{co,g} = \frac{|N|}{A_n} \pm \frac{|M_g \cdot 100|}{I_{cn}} \cdot (h - e_{cn}) \quad [\text{kN/cm}^2]$$

$$\sigma_{cu,g} = \frac{|N|}{A_n} \pm \frac{|M_g \cdot 100|}{I_{cn}} \cdot e_{cn} \quad [\text{kN/cm}^2]$$

$$\sigma_{cp,g} = \frac{|N|}{A_n} \pm \frac{|M_g \cdot 100|}{I_{cn}} \cdot (e_{cn} - e_p) \quad [\text{kN/cm}^2]$$

$$\Delta\sigma_{p,g} = 0 \quad [\text{kN/cm}^2]$$

wenn das Eigengewicht nicht aktiviert wird:

$$\Delta\sigma_{p,g} = \alpha_p \cdot \sigma_{cp,g} \quad [\text{kN/cm}^2]$$

Hinweis:

Da das Eigengewicht während des Spannens aktiviert wird, wirkt dieses auf den Nettoquerschnitt.

15.2.2 Spannungen infolge Vorspannung

$$\sigma_{co,p} = - \frac{|P_{mol}|}{A_{cn}} \pm \frac{|M_p \cdot 100|}{I_{cn}} \cdot (h - e_{cn}) \quad [\text{kN/cm}^2]$$

$$\sigma_{cu,p} = - \frac{|P_{mol}|}{A_{cn}} \pm \frac{|M_p \cdot 100|}{I_{cn}} \cdot e_{cn} \quad [\text{kN/cm}^2]$$

$$\sigma_{cp,p} = - \frac{|P_{mol}|}{A_{cn}} \pm \frac{|M_p \cdot 100|}{I_{cn}} \cdot (e_{cn} - e_p) \quad [\text{kN/cm}^2]$$

$$\sigma_{p,p} = \sigma_{pm0} \quad [\text{kN/cm}^2]$$

15.2.3 Spannungen infolge Ausbaulast

$$\sigma_{co,\Delta g} = \frac{|N|}{A_{ci}} \pm \frac{|M_{\Delta g} \cdot 100|}{I_{ci}} \cdot (h - e_{ci}) \quad [\text{kN/cm}^2]$$

$$\sigma_{cu,\Delta g} = \frac{|N|}{A_{ci}} \pm \frac{|M_{\Delta g} \cdot 100|}{I_{ci}} \cdot e_{ci} \quad [\text{kN/cm}^2]$$

$$\sigma_{cp,\Delta g} = \frac{|N|}{A_{ci}} \pm \frac{|M_{\Delta g} \cdot 100|}{I_{ci}} \cdot (e_{ci} - e_p) \quad [\text{kN/cm}^2]$$

$$\Delta\sigma_{p,\Delta g} = \alpha_p \cdot \sigma_{cp,\Delta g} \quad [\text{kN/cm}^2]$$

15.2.4 Spannungen infolge Verkehrslast

$$\sigma_{co,q} = \frac{|N|}{A_{ci}} \pm \frac{|M_q \cdot 100|}{I_{ci}} \cdot (h - e_{ci}) \quad [\text{kN/cm}^2]$$

$$\sigma_{cu,q} = \frac{|N|}{A_{ci}} \pm \frac{|M_q \cdot 100|}{I_{ci}} \cdot e_{ci} \quad [\text{kN/cm}^2]$$

$$\sigma_{cp,q} = \frac{|N|}{A_{ci}} \pm \frac{|M_q \cdot 100|}{I_{ci}} \cdot (e_{ci} - e_p) \quad [\text{kN/cm}^2]$$

$$\Delta\sigma_{p,q} = \alpha_p \cdot \sigma_{cp,q} \quad [\text{kN/cm}^2]$$

Hinweis: Die Verkehrslast wird nach dem Spannen und dem Verpressen der Hüllrohre aufgebracht und wirkt somit auf den ideellen Querschnitt.

$$\alpha_p = \frac{E_p}{E_{cm}}$$

E_p : $[\text{N/mm}^2]$ E-Modul des Spannstahls
i.d.R. $E_p = 195.000 \text{ N/mm}^2$

E_{cm} : $[\text{N/mm}^2]$ E-Modul des Betons

15.3 Verbundlose Vorspannung

15.3.1 Spannungen infolge Eigengewicht

$$\sigma_{co,g} = \frac{|N|}{A_{cn}} \pm \frac{|M_g \cdot 100|}{I_{cn}} \cdot (h - e_{cn}) \quad [\text{kN/cm}^2]$$

$$\sigma_{cu,g} = \frac{|N|}{A_{cn}} \pm \frac{|M_g \cdot 100|}{I_{cn}} \cdot e_{cn} \quad [\text{kN/cm}^2]$$

keine Zusatzspannungen

15.3.2 Spannungen infolge Vorspannung

$$\sigma_{co,p} = -\frac{|P_{m0}|}{A_{cn}} \pm \frac{|M_p \cdot 100|}{I_{cn}} \cdot (h - e_c) \quad [\text{kN/cm}^2]$$

$$\sigma_{cu,p} = -\frac{|P_{m0}|}{A_{cn}} \pm \frac{|M_p \cdot 100|}{I_{cn}} \cdot e_c \quad [\text{kN/cm}^2]$$

$$\sigma_{p,p} = \sigma_{pm0} \quad [\text{KN/cm}^2]$$

15.3.3 Spannungen infolge Ausbaulast

$$\sigma_{co,\Delta g} = \frac{|N|}{A_{cn}} \pm \frac{|M_{\Delta g} \cdot 100|}{I_{cn}} \cdot (h - e_{cn}) \quad [\text{kN/cm}^2]$$

$$\sigma_{cu,\Delta g} = \frac{|N|}{A_{cn}} \pm \frac{|M_{\Delta g} \cdot 100|}{I_{cn}} \cdot e_{cn} \quad [\text{kN/cm}^2]$$

keine Zusatzspannungen

15.3.4 Spannungen infolge Verkehrslast

$$\sigma_{co,q} = \frac{|N|}{A_{cn}} \pm \frac{|M_q \cdot 100|}{I_{cn}} \cdot (h - e_{cn}) \quad [\text{kN/cm}^2]$$

$$\sigma_{cu,q} = \frac{|N|}{A_{cn}} \pm \frac{|M_q \cdot 100|}{I_{cn}} \cdot e_{cn} \quad [\text{kN/cm}^2]$$

keine Zusatzspannungen

16 Ermittlung von Spannungen im Zustand 2

16.1 Term 1 bei Biegung mit Normalkraft

$$\sigma_{c2} = - \frac{|N_{Ed}|}{S_{i,NL}} \cdot x_{||} \quad [\text{kN/cm}^2]$$

$$\sigma_{s2} = - \alpha_e \cdot \frac{|N_{Ed}|}{S_{i,NL}} \cdot (x_{||} - d_2) \quad [\text{kN/cm}^2]$$

$$\sigma_{s1} = \alpha_e \cdot \frac{|N_{Ed}|}{S_{i,NL}} \cdot (d - x_{||}) \quad [\text{kN/cm}^2]$$

N_{Ed}: [**kN**] einwirkende Normalkraft
S_{i,NL}: [**cm³**] statisches Moment; siehe Punkt 9
z_{||}: [**cm**] innerer Hebelarm; $z_{||} = d - \frac{x_{||}}{3}$
x_{||}: [**cm**] Druckzonenhöhe; siehe Punkt 9
A_{s1}: [**cm²**] Querschnittsfläche der Biegezugbewehrung
d: [**cm**] statische Nutzhöhe
d₂: [**cm**] Abstand zwischen Druckbewehrung und Oberkante des Querschnittes
α_e: [] Verhältnis der E-Moduli; $\alpha_e = E_s/E_c$
E_s: [**N/mm²**] E-Modul des Betonstahls; $E_s = 200.000$
E_c: [**N/mm²**] E-Modul des Beton

16.2 Term 2 bei Bauteilen mit im Verbund liegenden Spanngliedern (DIN EN 1992-1-1/NA 2013-04; NDP zu 7.3.3(2))

16.2.1 Wirksame Betonzugfestigkeit

$$f_{ct,eff} \begin{cases} \text{früher Zwang: } f_{ct,eff} = 0,5 \cdot f_{ctm} \quad [\text{N/mm}^2] \\ \text{später Zwang: } f_{ctm} < 3,0 \rightarrow f_{ct,eff} = 3,0 \quad [\text{N/mm}^2] \\ \qquad \qquad \qquad f_{ctm} > 3,0 \rightarrow f_{ct,eff} = f_{ctm} \quad [\text{N/mm}^2] \end{cases}$$

f_{ctm}: [**N/mm²**] Mittelwert der zentrischen Betonzugfestigkeit; siehe EC 2 Tab. 3.1

früher Zwang: (3-5d)

- z.B. durch abfließen der Hydratationswärme

später Zwang: (nach 28d)

- z.B. aus Last

16.2.2 Bewehrungsgrade

$$\rho_{tot} = \frac{(A_s + A_p)}{A_{c,eff}} \quad []$$

$$\rho_{p,eff} = \frac{A_s + \xi_1^2 \cdot A_p}{A_{c,eff}} \quad []$$

mit:

$$\xi_1 = \sqrt{\xi \cdot \frac{\varnothing_s}{\varnothing_p}} \quad []$$

A_{c,eff}: [**mm²**] Wirkungsbereich der Bewehrung; $A_{c,eff} = 2,5 \cdot d_1 \cdot b$ (gilt allgemein)
A_p: [**mm²**] Querschnittsfläche der Spannglieder, die innerhalb $h_{c,eff} = 2,5 \cdot d_1$ liegen
A_s: [**mm²**] Querschnittsfläche der Betonstahlbewehrung
ξ: [] Verhältnis der mittleren Verbundfestigkeit von Spannstahl und Betonstahl; siehe Abbildung 8; Bei Betondruckfestigkeiten $\geq C 70/85$ sind die Werte unter „sofortiger Verbund“ zu halbieren.
Ø_s: [**mm**] größter Stabdurchmesser des Betonstahls; wenn $A_s = 0$: $\xi_1 = \sqrt{\xi}$
Ø_p: [**mm**] äquivalenter Durchmesser des Spannstahls
 Bündelspannglieder: $\varnothing_p = 1,6 \cdot \sqrt{A_p}$ (A_p einer Litze)
 Einzellitzen mit 7 Drähten: $\varnothing_p = 1,75 \cdot \varnothing_{wire}$
 Einzellitzen mit 3 Drähten: $\varnothing_p = 1,20 \cdot \varnothing_{wire}$

| Spannstahl | ξ | |
|-------------------------|--|------------------------------------|
| | sofortiger Verbund | nachträglicher Verbund ≤ C50/60 |
| glatte Stäbe und Drähte | nicht anwendbar | 0,3 |
| Litzen | 0,6 | 0,5 |
| profilierte Drähte | 0,7 | 0,6 |
| gerippte Stäbe | 0,8 | 0,7 |
| ANMERKUNG | Für Werte zwischen C50/60 und C70/85 darf interpoliert werden. | |

Abbildung 8: Verhältnis ξ [3]

16.2.3 Term 2

$$\sigma_s = \sigma_{s,||} + 0,4 \cdot f_{ct,eff} \cdot \left(\frac{1}{\rho_{p,eff}} - \frac{1}{\rho_{tot}} \right) \quad [\text{N/mm}^2]$$

f_{ct,eff}: [**N/mm²**] wirksame Betonzugfestigkeit
σ_{s,||}: [**N/mm²**]

17 Nachweis der zulässigen Betonspannungen

17.1 Allgemein

Nachweis erforderlich um Kriechverformungen zu begrenzen: $\sigma_c \leq 0,45 \cdot f_{ck}$ in der quasi-ständigen EWK
Nachweis für nicht vorgespannte Tragwerke des üblichen Hochbaus i.d.R. nicht erforderlich
(s. EC2-1-1/NA, 7.1)

17.2 Quasi-ständige Kombination

Hinweis: maßgebend ist der Lastfall, bei dem die größte Druckspannung an einem der Querschnittsränder entsteht. Am besten beide Ränder jeweils zum Zeitpunkt $t=0$ und $t=\infty$ untersuchen.

Querschnittsrand 1: (Zug infolge Vorspannung)

$t = 0$:

$$\sigma_{c1,perm} = -|\sigma_{c1,g}| + r_{sup} \cdot |\sigma_{c1,p}| \quad [\text{kN/cm}^2]$$

$t = \infty$: maßgebend

$$\sigma_{c1,perm} = -|\sigma_{c1,g}| - \sum \Psi_2 \cdot |\sigma_{c1,q}| + r_{inf} \cdot \alpha_{csr} \cdot |\sigma_{c1,p}| \quad [\text{kN/cm}^2]$$

Querschnittsrand 2: (Druck infolge Vorspannung)

$t = 0$: maßgebend

$$\sigma_{c2,perm} = +|\sigma_{c2,g}| - r_{sup} \cdot |\sigma_{c2,p}| \quad [\text{kN/cm}^2]$$

$t = \infty$:

$$\sigma_{c2,perm} = +|\sigma_{c2,g}| + \sum \Psi_2 \cdot |\sigma_{c2,q}| - r_{sup} \cdot \alpha_{csr} \cdot |\sigma_{c2,p}| \quad [\text{kN/cm}^2]$$

Nachweis:

$$\sigma_{c,perm} \leq 0,45 \cdot f_{ck}$$

→ kein nichtlineares Kriechen

r_{sup} : [] Wert zur Berücksichtigung der Streuung der Vorspannkraft

Nachträglicher Verbund: $r_{sup} = 1,1$

Sofortiger Verbund/ Kein Verbund: $r_{sup} = 1,05$

r_{inf} : [] Wert zur Berücksichtigung der Streuung der Vorspannkraft

Nachträglicher Verbund: $r_{sup} = 0,9$

Sofortiger Verbund/ Kein Verbund: $r_{sup} = 0,95$

α_{csr} : [] Verlust aus Kriechen, Schwinden und Relaxation;
i.d.R.: $\alpha_{csr} = 0,85$

f_{ck} : [N/mm²] charakteristische Zylinderdruckfestigkeit von Beton

18 Nachweis der zulässigen Spannstahlspannungen

18.1 Allgemein

Zu führende Nachweise:

$$\sigma_{p,perm} \leq 0,65 \cdot f_{pk} \text{ (s. DIN EN 1992-1-1; 7.2 (NA.5))}$$

$$\sigma_{p,rare} \leq \min \{ 0,9 \cdot f_{p0,1k}; 0,8 \cdot f_{pk} \} \text{ (s. DIN EN 1992-1-1; 7.2 (NA.6))}$$

18.2 Quasi-ständige Kombination (s.DIN EN 1992-1-1, 7.2(5))

$$\sigma_{pm,perm,\infty} = \alpha_{csr} \cdot \frac{P_0}{A_p} + |\Delta\sigma_{p,g}| + \sum \Psi_2 \cdot |\Delta\sigma_{p,q}| \quad [\text{kN/cm}^2]$$

Hinweis:

Wenn das Eigengewicht beim anspannen bereits aktiviert wurde, (Träger hebt sich von der Schalung) werden die Spannungen aus Eigengewicht nicht berücksichtigt.

Nachweis:

$$\sigma_{pm,perm,\infty} \leq 0,65 \cdot f_{pk}$$

f_{pk} : **[N/mm²]** charakteristischer Wert der Zugfestigkeit des Spannstahls
St1570/1770: $f_{pk} = 1770 \text{ N/mm}^2$

Nur bei Vorspannung mit Verbund

18.3 Seltene Kombination (s. DIN EN 1992-1-1; 7.2 (NA.6))

$$\sigma_{p,rare,0} = \frac{P_{m0}}{A_p} + |\Delta\sigma_{p,g}| \quad [\text{kN/cm}^2]$$

$$\sigma_{p,rare,\infty} = \alpha_{csr} \cdot \frac{P_{m0}}{A_p} + |\Delta\sigma_{p,g}| + \sum |\Delta\sigma_{p,q}| \quad [\text{kN/cm}^2]$$

Hinweis:

Wenn das Eigengewicht beim anspannen bereits aktiviert wurde, (Träger hebt sich von der Schalung) werden die Spannungen aus Eigengewicht nicht berücksichtigt.

Nachweis:

$$\sigma_{p,rare} \leq \min \begin{cases} 0,8 \cdot f_{pk} \\ 0,9 \cdot f_{p0,1k} \end{cases}$$

f_{pk} : **[N/mm²]** charakteristischer Wert der Zugfestigkeit des Spannstahls
St1570/1770: $f_{pk} = 1770 \text{ N/mm}^2$

$f_{p0,1k}$: **[N/mm²]** charakteristischer Wert der 0,1 %-Dehngrenze des Spannstahls
St1570/1770: $f_{p0,1k} = 1500 \text{ N/mm}^2$

Nur bei Vorspannung mit Verbund

18.4 Zulässige Spannstahlspannung nach Lösen der Verankerung (s.DIN EN 1992-1-1:2011; 5.10.3(2))

$$\sigma_{p0} = \min \begin{cases} 0,75 \cdot f_{pk} \quad [\text{N/mm}^2] \\ 0,85 \cdot f_{p0,1k} \quad [\text{N/mm}^2] \end{cases}$$

→ Zur Vordimensionierung

f_{pk} : **[N/mm²]** charakteristischer Wert der Zugfestigkeit des Spannstahls
→ aus Allgemeiner bauaufsichtlicher Zulassung

Für ST1570/1770 z.B.: $f_{pk} = 1770 \text{ N/mm}^2$

$f_{p0,1k}$: **[N/mm²]** charakteristischer Wert der 0,1 %-Dehngrenze des Spannstahls
→ aus Allgemeiner bauaufsichtlicher Zulassung

Für ST1570/1770 z.B.: $f_{p0,1k} = 1500 \text{ N/mm}^2$

18.5 Zulässige Spannstahlspannung während des Spannvorgangs (s.DIN EN 1992-1-1:2011; 5.10.2(1))

$$\sigma_{p0} = \min \begin{cases} 0,8 \cdot f_{pk} \quad [\text{N/mm}^2] \\ 0,9 \cdot f_{p0,1k} \quad [\text{N/mm}^2] \end{cases}$$

Wenn Übergespannt wird: (s. DIN EN 1992-1-1:2011-01; 5.10.2.1(2))
 $\sigma_{p0} = 0,95 \cdot f_{p0,1k} \quad [\text{N/mm}^2]$

f_{pk} : **[N/mm²]** charakteristischer Wert der Zugfestigkeit des Spannstahls
→ aus Allgemeiner bauaufsichtlicher Zulassung

Für ST1570/1770 z.B.: $f_{pk} = 1770 \text{ N/mm}^2$

$f_{p0,1k}$: **[N/mm²]** charakteristischer Wert der 0,1 %-Dehngrenze des Spannstahls → aus Allgemeiner bauaufsichtlicher Zulassung

Für ST1570/1770 z.B.: $f_{p0,1k} = 1500 \text{ N/mm}^2$

19.1 Quasi-ständige Kombination

Hinweis:

Durch den Dekompressionsnachweis sollen Betonrisse im Bereich des Spanngliedes verhindert werden, da diese zu Korrosions- oder Ermüdungsproblemen führen können.

Nach EC2/NA; NCI zu 7.3.2(5):

genauerer Nachweis bei dem das Spannglied im Druckbereich = max {h/10; 100mm zu beiden Seiten} (Zustand 2) liegen muss.

Nach DAFStb Heft 600:

Vereinfachter NW bei dem der Betonquerschnitt im Zustand 1 vollständig unter Druckspannungen stehen muss.

Es müssen beide Ränder jeweils zum Zeitpunkt $t = 0$ und $t = \infty$ untersucht werden.

Die Vorspannung wirkt ungünstig wenn diese am betrachteten Rand Zugspannungen erzeugt.

r_{sup} : [] Wert zur Berücksichtigung der Streuung der Vorspannkraft

Nachträglicher Verbund: $r_{sup} = 1,1$

Sofortiger Verbund/ Kein Verbund: $r_{sup} = 1,05$

r_{inf} : [] Wert zur Berücksichtigung der Streuung der Vorspannkraft

Nachträglicher Verbund: $r_{inf} = 0,9$

Sofortiger Verbund/ Kein Verbund: $r_{inf} = 0,95$

α_{csr} : [] Verlust aus Kriechen, Schwinden und Relaxation;

i.d.R.: $\alpha_{csr} = 0,85$

f_{ck} : [N/mm²] charakteristische Zylinderdruckfestigkeit von Beton

Querschnittsrand 1: (Druck infolge Vorspannung)

$t = 0$:

$$\sigma_{c1,perm} = +|\sigma_{c1,g}| - r_{inf} \cdot |\sigma_{c1,p}| \quad [\text{kN/cm}^2]$$

$t = \infty$:

$$\sigma_{c1,perm} = +|\sigma_{c1,g}| + \sum \Psi_2 \cdot |\sigma_{c1,q}| - r_{inf} \cdot \alpha_{csr} \cdot |\sigma_{c1,p}| \quad [\text{kN/cm}^2]$$

Querschnittsrand 2: (Zug infolge Vorspannung)

$t = 0$:

$$\sigma_{c2,perm} = -|\sigma_{c2,g}| + r_{sup} \cdot |\sigma_{c2,p}| \quad [\text{kN/cm}^2]$$

$t = \infty$:

$$\sigma_{c2,perm} = -|\sigma_{c2,g}| - \sum \Psi_2 \cdot |\sigma_{c2,q}| + r_{sup} \cdot \alpha_{csr} \cdot |\sigma_{c2,p}| \quad [\text{kN/cm}^2]$$

20 Beschränkung der Rissbreite

20.1 Hinweise

Für biegebeanspruchte Platten der Expositionsklasse XC1 ist der Nachweis nicht erforderlich, wenn die Gesamtdicke 20cm nicht überschreitet (vgl. EC2-1-1, 7.3.3)

Der Nachweis ist nicht erforderlich wenn der Querschnitt unter der maßgebenden Kombination im Zustand 1 bleibt. (vgl. EC2/NA; Tabelle 7.1DE)

20.2 Überprüfung ob Rissbreitennachweis erforderlich ist

20.2.1 Nachträglicher & sofortiger Verbund: (i.d.R.: häufige EWK)

Querschnittsrand 1: (Druck infolge Vorspannung)

$t = 0$:

$$\sigma_{c1,freq} = |\sigma_{c1,g}| - r_{inf} \cdot |\sigma_{c1,p}| \quad [N/mm^2]$$

$t = \infty$: maßgebend

$$\sigma_{c1,freq} = |\sigma_{c1,g}| + \psi_{1,1} \cdot |\sigma_{c1,q1}| - r_{inf} \cdot \alpha_{csr} \cdot |\sigma_{c1,p}| \quad [N/mm^2]$$

Querschnittsrand 2: (Zug infolge Vorspannung)

$t = 0$: maßgebend

$$\sigma_{c2,freq} = -|\sigma_{c2,g}| + r_{sup} \cdot |\sigma_{c2,p}| \quad [N/mm^2]$$

$t = \infty$:

$$\sigma_{c2,freq} = -|\sigma_{c2,g}| - \psi_{1,1} \cdot |\sigma_{c2,q1}| + r_{sup} \cdot \alpha_{csr} \cdot |\sigma_{c2,p}| \quad [N/mm^2]$$

Nachweis: $\sigma_{c,freq} \leq f_{ctm}$ → kein NW erf.

r_{sup} : Wert zur Berücksichtigung der Streuung der Vorspannkraft

$$r_{sup} = 1,1$$

Nachträglicher Verbund: Sofortiger Verbund/ Kein Verbund: $r_{sup} = 1,05$

r_{inf} : Wert zur Berücksichtigung der Streuung der Vorspannkraft

$$r_{inf} = 0,9$$

Nachträglicher Verbund: Sofortiger Verbund/ Kein Verbund: $r_{inf} = 0,95$

20.2.2 Ohne Verbund: (quasi ständige EWK)

Querschnittsrand 1: (Druck infolge Vorspannung)

$t = 0$:

$$\sigma_{c1,perm} = |\sigma_{c1,g}| - r_{inf} \cdot |\sigma_{c1,p}| \quad [N/mm^2]$$

$t = \infty$:

$$\sigma_{c1,perm} = |\sigma_{c1,g}| + \sum \Psi_2 \cdot |\sigma_{c1,q}| - r_{inf} \cdot \alpha_{csr} \cdot |\sigma_{c1,p}| \quad [N/mm^2]$$

r_{sup} : Wert zur Berücksichtigung der Streuung der Vorspannkraft

$$r_{sup} = 1,1$$

Nachträglicher Verbund: Sofortiger Verbund/ Kein Verbund: $r_{sup} = 1,05$

r_{inf} : Wert zur Berücksichtigung der Streuung der Vorspannkraft

$$r_{inf} = 0,9$$

Nachträglicher Verbund: Sofortiger Verbund/ Kein Verbund: $r_{inf} = 0,95$

Querschnittsrand 2: (Zug infolge Vorspannung)

$t = 0$:

$$\sigma_{c2,perm} = -|\sigma_{c1,g}| + r_{sup} \cdot |\sigma_{c2,p}| \quad [N/mm^2]$$

$t = \infty$:

$$\sigma_{c2,perm} = -|\sigma_{c1,g}| - \sum \Psi_2 \cdot |\sigma_{c2,q}| + r_{sup} \cdot \alpha_{csr} \cdot |\sigma_{c2,p}| \quad [N/mm^2]$$

Nachweis: $\sigma_{c,perm} \leq f_{ctm}$ → kein NW erf.

20.3 Grenzwert für die rechnerische Rissbreite

| Expositions-klasse | Stahlbeton und Vorspannung ohne Verbund | Vorspannung mit nachträglichem Verbund | | |
|----------------------------|---|--|------------------|--------|
| | | mit Einwirkungskombination | | |
| | quasi-ständig | häufig | häufig | selten |
| X0, XC1 | 0,4 ^a | 0,2 | 0,2 | — |
| XC2 – XC4 | 0,3 | 0,2 ^{b, c} | 0,2 ^b | |
| XS1 – XS3 | | | Dekom-pression | 0,2 |
| XD1, XD2, XD3 ^d | | | | |

^a Bei den Expositionsklassen X0 und XC1 hat die Rissbreite keinen Einfluss auf die Dauerhaftigkeit und dieser Grenzwert wird i. Allg. zur Wahrung eines akzeptablen Erscheinungsbildes gesetzt. Fehlen entsprechende Anforderungen an das Erscheinungsbild, darf dieser Grenzwert erhöht werden.

^b Zusätzlich ist der Nachweis der Dekompression unter der quasi-ständigen Einwirkungskombination zu führen.

^c Wenn der Korrosionsschutz anderweitig sichergestellt wird (Hinweise hierzu in den Zulassungen der Spannverfahren), darf der Dekompressionsnachweis entfallen.

^d Beachte 7.3.1 (7).

Tabelle 2: maximale Rissbreite in mm [1]

21 Rissbreitennachweis mit direkter Berechnung

21.1 Wirkungsbereich der Bewehrung

$$h_{c,ef} = \min \begin{cases} 2,5 \cdot d_1 [\text{cm}] \\ \frac{h - x_{||}}{3} [\text{cm}] \quad (\text{Obergrenze f\"ur biegebeanspruchte Bauteile}) \\ \frac{h}{2} [\text{cm}] \quad (\text{Obergrenze f\"ur zentrisch gezogene Bauteile}) \end{cases}$$

$$A_{c,eff} = h_{c,ef} \cdot b_{eff} [\text{cm}^2]$$

Hinweis: $2,5 \cdot d_1$ gilt nur f\"ur d\"unne Bauteile ($h/d_1 \leq 10$ bei Biegung; $h/d_1 \leq 5$ bei zentrischem Zwang) und konzentrierte Bewehrungsanordnung. Bei dicken Bauteilen kann $h_{c,ef}$ bis auf $5 \cdot d_1$ anwachsen.

d_1 : [cm] Abstand zwischen Betonrand und Schwerpunkt der Zugbewehrung bei zusätzlichen Spannstahl: d_{1m}

$h_{c,ef}$: [cm]

b_{eff} : [cm] effektive Querschnittsbreite

bei Plattenbalken mit negativem Moment:

$$b_{eff} = b_{eff}/2 + 2 \cdot 1,5 \cdot d_1 \quad (\text{nach DIN 1045} \rightarrow \text{sichere Seite})$$

nach EC2: $b_{eff} = \text{Breite des Verlegebereichs der Bewehrung} + 2 \cdot 5 \cdot (c + \varnothing_s)$

bei Plattenbalken mit positivem Moment: $b_{eff} = b_w$

c: [cm] Betondeckung

\varnothing_s : [cm] Stabdurchmesser

$x_{||}$: [cm] Druckzonenh\"ohe im Zustand 2; siehe 9

h: [cm] Querschnittsh\"ohe; bei PB: gesamte Querschnittsh\"ohe

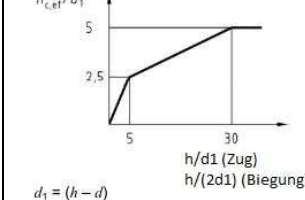


Abbildung 9: Vergrößerung von $h_{c,ef}$ [1]

21.2 Effektiver Bewehrungsgrad

$$\rho_{p,eff} = \frac{A_s + \xi_1^2 \cdot A_p}{A_{c,eff}} \quad []$$

$$\text{mit: } \xi_1 = \sqrt{\xi \cdot \frac{\varnothing_s}{\varnothing_p}} \quad []$$

A_s : [cm²] vorhandene Zugbewehrung (auch bei zentrischem Zug nur A_{s1})
 $A_{c,eff}$: [cm²] Wirkungsbereich der Bewehrung; siehe oben

ξ : [] Verhältnis der mittleren Verbundfestigkeit von Spannstahl und Betonstahl; siehe Abbildung 10; Bei Betondruckfestigkeiten $\geq C 70/85$ sind die Werte unter „sofortiger Verbund“ zu halbieren.

\varnothing_s : [mm] gr\"o\ss{}ter Stabdurchmesser des Betonstahls; wenn $A_s = 0$: $\xi_1 = \sqrt{\xi}$

\varnothing_p : [mm] \\"aquivalenter Durchmesser des Spannstahls

$$\text{Bündelspannglieder: } \varnothing_p = 1,6 \cdot \sqrt{A_p} \quad [\text{mm}]$$

$$\text{Einzellitzen mit 7 Drähten: } \varnothing_p = 1,75 \cdot \varnothing_{wire}$$

$$\text{Einzellitzen mit 3 Drähten: } \varnothing_p = 1,20 \cdot \varnothing_{wire}$$

| Spannstahl | ξ | | |
|-------------------------|--------------------|---|---------------|
| | sofortiger Verbund | nachträglicher Verbund $\leq C50/60$ | $\geq C70/85$ |
| glatte Stäbe und Drähte | nicht anwendbar | 0,3 | 0,15 |
| Litzen | 0,6 | 0,5 | 0,25 |
| profilierte Drähte | 0,7 | 0,6 | 0,3 |
| gerippte Stäbe | 0,8 | 0,7 | 0,35 |

ANMERKUNG Für Werte zwischen C50/60 und C70/85 darf interpoliert werden.

Abbildung 10: Verhältnis ξ [3]

21.3 Wirksame Betonzugfestigkeit

$$f_{ct,eff} \left\{ \begin{array}{l} \text{früher Zwang: } f_{ct,eff} = 0,5 \cdot f_{ctm} \quad [\text{N/mm}^2] \\ \text{später Zwang: } f_{ctm} > 3,0 \rightarrow f_{ct,eff} = f_{ctm} \quad [\text{N/mm}^2] \\ \quad f_{ctm} < 3,0 \rightarrow f_{ct,eff} = 3,0 \quad [\text{N/mm}^2] \end{array} \right.$$

f_{ctm} : [N/mm²] Mittelwert der zentrischen Betonzugfestigkeit; siehe Tab. 3.1

früher Zwang: (3-5d)

- z.B. durch abfließen der Hydratationswärme

Kann ausgeschlossen werden, wenn es innerhalb der ersten 28 Tage zu keiner Rissbildung kommt. (z.B. durch Nachbehandlung usw.)

später Zwang: (nach 28d)

- z.B. aus Last

21.4 Differenz der mittleren Dehnungen

$$\varepsilon_{sm} - \varepsilon_{cm} = \max \left\{ \frac{\sigma_s}{E_s} - k_t \cdot \frac{f_{ct,eff}}{\rho_{p,eff} \cdot E_s} \cdot (1 + \alpha_e \cdot \rho_{p,eff}) \quad [] \right. \\ \left. 0,6 \cdot \frac{\sigma_s}{E_s} \quad [] \right.$$

Hinweis: Nach DIN EN 1992-1-1; NA7.3.4(2): wirksame Betonzugfestigkeit bei Berechnung von $\varepsilon_{sm} - \varepsilon_{cm}$ ohne Ansatz einer Mindestbetonzugfestigkeit!

σ_s : [N/mm²] Spannung in der Zugbewehrung im Zustand 2 für die quasi ständige EWK; siehe Punkt 16

k_t : [] Völligkeitsbeiwert der Spannungsverteilung zwischen den Rissen.

$k_t = 0,6$ bei kurzzeitiger Einwirkung

$k_t = 0,4$ bei langfristiger Einwirkung (Regelfall)

$f_{ct,eff}$: [N/mm²] wirksame Betonzugfestigkeit; siehe oben

$\rho_{p,eff}$: [] effektiver Bewehrungsgrad; siehe oben

α_e : [] Verhältnis der E-Moduli; $\alpha_e = E_s/E_c$

E_s : [N/mm²] E-Modul des Betonstahls; $E_s = 200.000$

E_c : [N/mm²] E-Modul des Beton

21.5 Maximaler Rissabstand

für $s \leq 5 \cdot c + \emptyset/2$: (Regelfall)

$$s_{r,max} = \min \left\{ \begin{array}{l} \frac{\emptyset}{3,6 \cdot \rho_{p,eff}} \text{ [mm]} \\ \frac{\sigma_s \cdot \emptyset}{3,6 \cdot f_{ct,eff}} \text{ [mm]} \end{array} \right.$$

für $s > 5 \cdot c + \emptyset/2$:

$$s_{r,max} = 1,3 \cdot (h - x)$$

s: [mm] Abstand der Stäbe zueinander

c: [mm] Betondeckung bezogen auf die Längsbewehrung

\emptyset : [mm] Durchmesser der vorhandenen Bewehrung

$\rho_{p,eff}$: [] effektiver Bewehrungsgrad; siehe oben

σ_s : [N/mm²] Spannung in der Zugbewehrung im Zustand 2 unter der quasi ständigen EWK; siehe Punkt 16

$f_{ct,eff}$: [N/mm²] wirksame Betonzugfestigkeit; siehe oben

21.6 Rissbreite

$$w_k = s_{r,max} \cdot (\epsilon_{sm} - \epsilon_{cm}) \text{ [mm]}$$

21.7 Nachweis

$$w_k \leq \text{zul. } w_k$$

22 Rissbreitennachweis ohne direkte Berechnung

22.1 Verfahren über Grenzdurchmesser (mit Tabelle NA 7.2)

22.1.1 Grenzdurchmesser

| | | Grenzdurchmesser bei Betonstählen ϕ_s^* ^a mm | | |
|--|--------|--|--------|-------|
| σ_s ^b N/mm ² | 0,4 mm | 0,3 mm | 0,2 mm | w_k |
| 160 | 54 | 41 | 27 | |
| 200 | 35 | 26 | 17 | |
| 240 | 24 | 18 | 12 | |
| 280 | 18 | 13 | 9 | |
| 320 | 14 | 10 | 7 | |
| 360 | 11 | 8 | 5 | |
| 400 | 9 | 7 | 4 | |
| 450 | 7 | 5 | 3 | |

Tabelle 3: Tabelle NA.7.2 [1]

σ_s : [N/mm²] Spannung in der Zugbewehrung im Zustand 2 für die maßgebende EWK

maßgebende EWK:

Stahlbetonbau: quasi-ständige EWK

Vorspannung ohne Verbund: quasi-ständige EWK

Vorspannung mit nachträglichem Verbund: häufige EWK

Vorspannung mit sofortigem Verb.: i.d.R. häufige EWK

w_k: [mm] Rissbreite nach 20.3

Hinweis: Zwischenwerte dürfen linear interpoliert werden

22.1.2 Wirksame Betonzugfestigkeit

$$f_{ct,eff} \begin{cases} \text{früher Zwang: } f_{ct,eff} = 0,5 \cdot f_{ctm} [\text{N/mm}^2] \\ \text{später Zwang: } f_{ctm} < 3,0 \rightarrow f_{ct,eff} = 3,0 [\text{N/mm}^2] \\ f_{ctm} > 3,0 \rightarrow f_{ct,eff} = f_{ctm} [\text{N/mm}^2] \end{cases}$$

f_{ctm} : [N/mm²] Mittelwert der zentrischen Betonzugfestigkeit; siehe Tab. 3.1

früher Zwang: (3-5d)

- z.B. durch abfließen der Hydratationswärme

später Zwang: (nach 28d)

- z.B. aus Last

22.1.3 Maximal zulässiger Durchmesser

$$\lim \varnothing_s = \max \left\{ \begin{array}{l} \varnothing_s^* \cdot \frac{\sigma_s \cdot A_s}{4 \cdot (h - d) \cdot b \cdot f_{ct,0}} [\text{mm}] \\ \varnothing_s^* \cdot \frac{f_{ct,eff}}{f_{ct,0}} [\text{mm}] \end{array} \right.$$

$\lim \varnothing_s$: maximal zulässiger Durchmesser der Bewehrungsstäbe

\varnothing_s^* : [mm] Grenzdurchmesser nach Tabelle NA.7.2; siehe oben

σ_s : [N/mm²] Spannung in der Zugbewehrung im Zustand 2 für die quasi-ständige EWK; siehe Punkt 16

Bei Bauteilen mit innerer Zwangsbeanspruchung gilt die bei der Berechnung der Mindestbewehrung ermittelte Stahlspannung σ_s

A_s : [cm²] Querschnitt der vorhandenen Bewehrung

h : [cm] Bauteildicke

b : [cm] Breite der Zugzone

d : [cm] statische Nutzhöhe

$f_{ct,0}$: [N/mm²] $f_{ct,0} = 2,9$

$f_{ct,eff}$: [N/mm²] wirksame Zugfestigkeit; siehe oben

22.1.4 Nachweis

$$\lim \varnothing_s \geq \text{vorh. } \varnothing_s$$

22.2 Verfahren über Höchstwerte der Stababstände (nur bei Lastbeanspruchung)

22.2.1 Höchstwert des Stababstandes

| Stahlspannung ² [N/mm ²] | Höchstwerte der Stababstände [mm] | | |
|--|-----------------------------------|----------------------|----------------------|
| | $w_k=0,4 \text{ mm}$ | $w_k=0,3 \text{ mm}$ | $w_k=0,2 \text{ mm}$ |
| 160 | 300 | 300 | 200 |
| 200 | 300 | 250 | 150 |
| 240 | 250 | 200 | 100 |
| 280 | 200 | 150 | 50 |
| 320 | 150 | 100 | — |
| 360 | 100 | 50 | — |

Tabelle 4: Höchstwerte der Stababstände nach 7.3N [3]

σ_s : [N/mm²] Spannung in der Zugbewehrung im Zustand 2 für die maßgebende EWK

maßgebende EWK:

Stahlbetonbau: quasi-ständige EWK

Vorspannung ohne Verbund: quasi-ständige EWK

Vorspannung mit nachträglichem Verbund: häufige EWK

Vorspannung mit sofortigem Verb.: i.d.R. häufige EWK

s: [mm] Abstand zwischen den einzelnen Zugbewehrungsstäben

Hinweis: Zwischenwerte dürfen linear interpoliert werden.

22.2.2 Nachweis

$$\max s \geq \text{vorh. } s$$

s : [mm] Abstand zwischen den einzelnen Zugbewehrungsstäben

23 Mindestbewehrung zur Begrenzung der Rissbreite

23.1 Hinweise

- Notwendig bei Bauteilen, die durch Zugsp. aus indirekten Einwirkungen (Zwang) beansprucht werden.
- Die Mindestbewehrung ist an dem maßgebenden Querschnittsrand einzulegen. Maßgebend ist der Querschnittsrand, der im ungerissenen Zustand zugbeansprucht ist. Um breite Sammelrisse zu vermeiden, soll die Bewehrung über die Zugzone verteilt werden.
- Bei gegliederten Querschnitten (z.B. Plattenbalken) ist die Mindestbewehrung für jeden Teilquerschnitt einzeln nachzuweisen!
- Die Mindestbewehrung wird aus dem Gleichgewicht der Betonzugkraft unmittelbar vor der Rissbildung und der Zugkraft in der Bewehrung ermittelt. (s. DIN EN 1992-1-1:2011-01; 7.3.2(1)) $A_{smin} \cdot \sigma_s = k_c \cdot k \cdot f_{ct,eff} \cdot A_{ct}$
- Der Nachweis ist ähnlich dem Nachweis der Mindestbewehrung zur Einhaltung des Duktilitätskriteriums.
Unterschiede: σ_s aus \varnothing_s anstelle $\sigma_s = 500\text{N/mm}^2$ und $z = 0,8 \cdot d$ anstelle $z = 0,9 \cdot d$

23.2 Überprüfung ob Mindestbewehrung für Zwang erforderlich ist

23.2.1 Spannbeton

23.2.1.1 Hinweise

In Bauteilen mit Vorspannung mit Verbund ist keine Mindestbewehrung erforderlich wenn am Querschnittsrand in der seltenen EWK Betondruckspannungen vorhanden sind, die betragsmäßig größer als $1,0 \text{ N/mm}^2$ sind. (DIN EN 1992-1-1/NA:2013-04; NDP zu 7.3.2(4))

23.2.1.2 Spannung am Querschnittsrand

Querschnittsrand 1: (Druck infolge Vorspannung)

$t=0$:

$$\sigma_{c1,rare} = |\sigma_{c1,g}| - r_{inf} \cdot |\sigma_{c1,p}| \quad [\text{N/mm}^2]$$

$t=\infty$:

$$\sigma_{c1,rare} = |\sigma_{c1,g}| + |\sigma_{c1,q}| - r_{inf} \cdot \alpha_{csr} \cdot |\sigma_{c1,p}| \quad [\text{N/mm}^2]$$

r_{sup} : [] Wert zur Berücksichtigung der Streuung der Vorspannkraft

Nachträglicher Verbund: $r_{sup} = 1,1$

Sofortiger Verbund/ Kein Verbund: $r_{sup} = 1,05$

r_{inf} : [] Wert zur Berücksichtigung der Streuung der Vorspannkraft

Nachträglicher Verbund: $r_{sup} = 0,9$

Sofortiger Verbund/ Kein Verbund: $r_{sup} = 0,95$

Querschnittsrand 2: (Zug infolge Vorspannung)

$t=0$:

$$\sigma_{c2,rare} = -|\sigma_{c2,g}| + r_{sup} \cdot |\sigma_{c2,p}| \quad [\text{N/mm}^2]$$

$t=\infty$:

$$\sigma_{c2,rare} = -|\sigma_{c2,g}| - |\sigma_{c2,q}| + r_{sup} \cdot \alpha_{csr} \cdot |\sigma_{c2,p}| \quad [\text{N/mm}^2]$$

23.2.1.3 Nachweis

Zugspannungen: → Mindestbewehrung erforderlich

Druckspannungen: $|\sigma_{c,rare}| \leq 1,0 \text{ N/mm}^2 \rightarrow$ Mindestbewehrung erforderlich

23.2.2 Stahlbeton (Mindestbewehrung infolge Hydratation)

23.2.2.1 Dehnung infolge Temperatur

$$\varepsilon_T = \Delta T \cdot \alpha_T \quad []$$

ΔT : [K] Temperaturdifferenz des Bauteils zwischen Ende der Hydratation und abgekühltem Zustand
 α_T : [1/K] Wärmeausdehnungskoeffizient des Bauteils; für Stahlbeton: $\alpha_T \approx 10^{-5}$

23.2.2.3 Wirksame Betonzugfestigkeit

$$f_{ct,eff} \left\{ \begin{array}{l} \text{früher Zwang: } f_{ct,eff} = 0,5 \cdot f_{ctm} \quad [\text{N/mm}^2] \\ \text{später Zwang: } f_{ctm} < 3,0 \rightarrow f_{ct,eff} = 3,0 \quad [\text{N/mm}^2] \\ f_{ctm} > 3,0 \rightarrow f_{ct,eff} = f_{ctm} \quad [\text{N/mm}^2] \end{array} \right.$$

f_{ctm} : [N/mm²] Mittelwert der zentrischen Betonzugfestigkeit; siehe Tab. 3.1

früher Zwang: (3-5d)

- z.B. durch abfließen der Hydratationswärme

Kann ausgeschlossen werden, wenn es innerhalb der ersten 28 Tage zu keiner Rissbildung kommt. (z.B. durch Nachbehandlung usw.)

später Zwang: (nach 28d)

- z.B. aus Last

23.2.4 Rissdehnung

$$\varepsilon_c = \frac{f_{ct,eff}}{E_{cm}} \quad []$$

$f_{ct,eff}$: [N/mm²] wirksame Betonzugfestigkeit; siehe oben
 E_{cm} : [N/mm²] E-Modul des Beton

23.2.5 Nachweis

$\varepsilon_T \geq \varepsilon_c \rightarrow$ Risse → Mindestbewehrung erf.!.

23.3 Ermittlung der Mindestbewehrung

23.3.1 Wirksame Betonzugfestigkeit

| | |
|--|--|
| $f_{ct,eff}$ { früher Zwang: $f_{ct,eff} = 0,5 \cdot f_{ctm}$ [N/mm ²] später Zwang: $f_{ctm} < 3,0 \rightarrow f_{ct,eff} = 3,0$ [N/mm ²] $f_{ctm} > 3,0 \rightarrow f_{ct,eff} = f_{ctm}$ [N/mm ²] | f_{ctm}: [N/mm²] Mittelwert der zentrischen Betonzugfestigkeit; siehe Tab. 3.1 früher Zwang: (3-5d) - z.B. durch abfließen der Hydratationswärme Kann ausgeschlossen werden, wenn es innerhalb der ersten 28 Tage zu keiner Rissbildung kommt. (z.B. durch Nachbehandlung usw.) später Zwang: (nach 28d) - z.B. aus Last |
|--|--|

23.3.2 Fläche der Betonzugzone im Zustand 1 und Betonspannungen

23.3.2.1 Rechteckquerschnitt:

| | |
|---|---|
| $A_{ct} = 0,5 \cdot b \cdot h$ [cm ²] (je Bauteilseite) | A_{ct}: [cm²] Zugzone im Zustand 1 (unmittelbar vor der Erstrissbildung) |
|---|---|

Hinweis: auch bei reiner Zugbelastung wird mit halber Querschnittshöhe gerechnet, da A_{ct} dann auf eine Bewehrungslage bezogen ist.

23.3.2.2 Gegliederte Querschnitte:

Hinweis: bei gegliederten Querschnitten muss die Mindestbew. Für die einzelnen Teilquerschnitte separat bestimmt werden. Jeweils an einem Rand muss gelten: $\sigma_c = f_{ct,eff}$

23.3.2.3 Plattenbalken (Zug oben):

$t = 0$:

$$\sigma_{c,m} = \frac{r_{inf} \cdot P_{m0}}{A_c}$$

Hinweis: falls keine Normalkraft vorhanden ist gilt: $\sigma_{c,m} = 0$

$t = \infty$:

$$\sigma_{c,m} = \frac{r_{inf} \cdot P_{m\infty}}{A_c} \quad \text{Hinweis:}$$

Hinweis:

falls keine Normalkraft vorhanden ist gilt: $\sigma_{c,m} = 0$

es wird immer mit dem Wert r_{inf} gerechnet, da daraus das größte $A_{s,min}$ resultiert.

$$h_t = \frac{f_{ct,eff} \cdot z_{so}}{f_{ct,eff} + |\sigma_{c,m}|} \quad [\text{cm}]$$

$$A_{ct,web} = b_w \cdot h_t \quad [\text{cm}^2]$$

$$A_{ct,f} = (b_{eff} - b_w) \cdot h_{cf} \quad [\text{cm}^2] \quad (\text{für NL im Steg})$$

$$\sigma_{c,web} = \frac{f_{ct,eff} \cdot h_{ges}}{2 \cdot h_t} - f_{ct,eff} \quad [\text{N/mm}^2]$$

$$\sigma_{c,f} = f_{ct,eff} \cdot \left(1 - \frac{h_{cf}}{2 \cdot h_t}\right) \quad [\text{N/mm}^2]$$

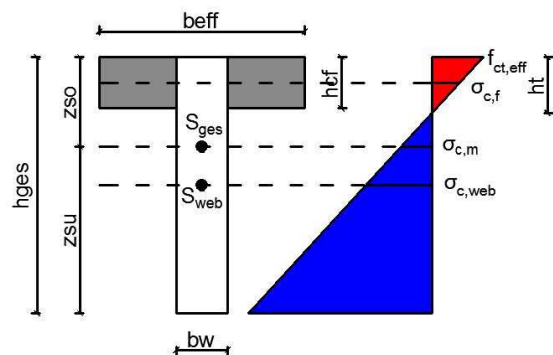


Abbildung 11: Spannungsverteilung eines Plattenbalken – oberer Querschnittsrand zugbeansprucht

r_{inf} : [] Wert zur Berücksichtigung der Streuung der Vorspannkraft
 Nachträglicher Verbund: $r_{inf} = 0,9$
 Sofortiger Verbund/ Kein Verbund: $r_{inf} = 0,95$
 h_{cf} : [cm] Plattendicke

23.3.2.4 Plattenbalken (Zug unten):

$t = 0$:

$$\sigma_{c,m} = \frac{r_{inf} \cdot P_{m0}}{A_c}$$

Hinweis: falls keine Normalkraft vorhanden ist gilt: $\sigma_{c,m} = 0$

$t = \infty$:

$$\sigma_{c,m} = \frac{r_{inf} \cdot P_{m\infty}}{A_c} \quad \text{Hinweis:}$$

Hinweis:

falls keine Normalkraft vorhanden ist gilt: $\sigma_{c,m} = 0$

es wird immer mit dem Wert r_{inf} gerechnet, da daraus das größte $A_{s,min}$ resultiert.

$$h_t = \frac{f_{ct,eff} \cdot z_{su}}{f_{ct,eff} + |\sigma_{c,m}|} \quad [\text{cm}]$$

$$A_{ct} = b_w \cdot h_t \quad [\text{cm}^2]$$

$$\sigma_{c,web} = \frac{f_{ct,eff} \cdot h_{ges}}{2 \cdot h_t} - f_{ct,eff} \quad [\text{N/mm}^2]$$

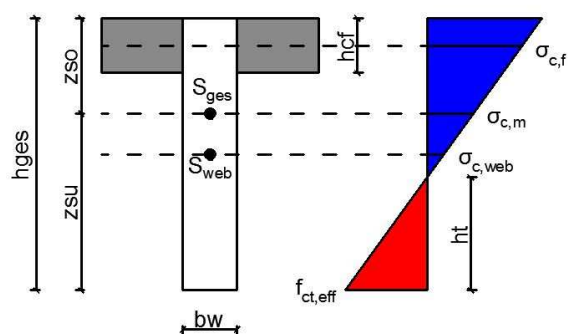


Abbildung 12: Spannungsverteilung eines Plattenbalken - unterer Querschnittsrand zugbeansprucht

r_{inf} : [] Wert zur Berücksichtigung der Streuung der Vorspannkraft
 Nachträglicher Verbund: $r_{inf} = 0,9$
 Sofortiger Verbund/ Kein Verbund: $r_{inf} = 0,95$

23.3.3 Faktor k_c

- bei reinem Zug: $k_c = 1,0$
- bei Biegung und Biegung mit Normalkraft: Rechteckquerschnitt, Steg von Hohlkasten, Steg eines T-Querschnitts:

$$k_c = 0,4 \cdot \left[1 - \frac{\sigma_c}{k_1 \cdot \left(\frac{h}{h^*} \right) \cdot f_{ct,eff}} \right] \leq 1$$

Hinweis: wenn k_c negativ \rightarrow keine Mindestbew. erf.

Gurt von Hohlkasten, Gurt eines T-Querschnitts:

$$k_c = 0,9 \cdot \frac{F_{cr}}{A_{ct} \cdot f_{ct,eff}} \geq 0,5$$

Hinweis: Herleitung & Beispiel zu T-Querschnitt: siehe [4]

k_c : [] Faktor zu Erfassung der Spannungsverteilung vor Erstrissbildung

σ_c : [N/mm^2] Betonspannung in Höhe der Schwerlinie des Teilquerschnitts im Zustand 1. (Druck positiv)

Bei Rechteckquerschnitt: $\sigma_c = N_{Ed} / (b \cdot h)$

Bei Plattenbalken: $\sigma_c = \sigma_{c,web}$ bzw. $\sigma_{c,f}$

N_{Ed} : [N] Normalkraft im GZG (Druckkraft positiv)

h : [m] Höhe des Querschnitts/ Teilquerschnitts

h^* : [m] $h < 1m$: $h^* = h$

$h \geq 1m$: $h^* = 1$

k_1 : [] Beiwert zur Berücksichtigung der Auswirkung von Normalkräften auf den Spannungsverlauf

σ_c Druckspannung: $k_1 = 1,5$

σ_c Zugspannung: $k_1 = 2 \cdot h^* / (3 \cdot h)$

F_{cr} : [N] Zugkraft im Gurt inf. Rissmoment; $F_{cr} = A_{ct} \cdot \sigma_{c,x}$

$\sigma_{c,x}$: [N/mm^2] Betonspannung im Schwerpunkt der Fläche A_{ct}

A_{ct} : [mm^2] Zugzone im Zustand 1 (unmittelbar vor der Erstrissbildung)

reiner Zug:

z.B. durch abfließen der Hydratationswärme

23.3.4 Faktor k

- äußerer Zwang: $k = 1,0$
- innerer Zwang: $h \leq 30cm \rightarrow k = 0,8$
 $30cm < h < 80cm \rightarrow$ Interp.
 $h \geq 80cm \rightarrow k = 0,5$

Interpolation: $k = 0,98 - 0,6 \cdot h$

k : [] Beiwert zur Berücksichtigung von nichtlinear verteilten Eigenspannungen.

äußerer Zwang:

nur möglich wenn Bauteil statisch unbestimmt gelagert ist.

- Temperaturänderung
- Stützensenkung

innerer Zwang:

- durch Schwinden
- durch abfließen der Hydratationswärme

h ist der kleinere Wert von b und h !! h in m!!

23.3.5 Grenzdurchmesser

Bei Zwangsbeanspruchung aus zentrischem Zug:

$$\varnothing_s^* = \min \left\{ \begin{array}{l} \varnothing_s \cdot \frac{2,9}{f_{ct,eff}} \text{ [mm]} \\ \varnothing_s \cdot \frac{2,9}{f_{ct,eff}} \cdot \frac{8 \cdot (h - d)}{k_c \cdot k \cdot h_{cr}} \text{ [mm]} \end{array} \right.$$

Bei Zwangsbeanspruchung aus Biegung:

$$\varnothing_s^* = \min \left\{ \begin{array}{l} \varnothing_s \cdot \frac{2,9}{f_{ct,eff}} \text{ [mm]} \\ \varnothing_s \cdot \frac{2,9}{f_{ct,eff}} \cdot \frac{4 \cdot (h - d)}{k_c \cdot k \cdot h_{cr}} \text{ [mm]} \end{array} \right.$$

Lastbeanspruchung:

$$\varnothing_s^* = \min \left\{ \begin{array}{l} \varnothing_s \cdot \frac{2,9}{f_{ct,eff}} \text{ [mm]} \\ \varnothing_s \cdot \frac{4 \cdot (h - d) \cdot b \cdot 2,9}{\sigma_s^{-1} \cdot A_s} \text{ [mm]} \end{array} \right.$$

Hinweise:

- Auf der sicheren Seite kann stets mit dem ersten Wert gerechnet werden.
- Wenn \emptyset obere Bewehrung $\neq \emptyset$ untere Bewehrung \rightarrow separater Nachweis für oben und unten erforderlich (2 verschiedene \varnothing_s bzw. σ_s)
- Alternativ nach DIN EN 1992-1-1; 7.3.3(NA.7): Bei unterschiedlichen Durchmessern in einem Querschnitt darf mit einem mittleren Stabdurchmesser gerechnet werden. $\varnothing_m = \frac{\sum \varnothing_i^2}{\sum \sigma_i}$
- Bei Stahlbetonmatten mit Doppelstäben: $\varnothing_s = \emptyset$ eines Einzelstabes.

\varnothing_s : [mm] vorhandener Stabdurchmesser. (siehe Hinweise)

$f_{ct,eff}$: [N/mm^2] wirksame Betonzugfestigkeit; siehe oben

h_{cr} : [cm] Höhe der Zugzone, unmittelbar nach Rissbildung

senkrecht zur Symmetrieebene des Querschnitts

bei Biegung: $h_{cr} = h/2$

bei zentrischem Zug: $h_{cr} = h$

h : [cm] Gesamthöhe des Querschnittes \perp zur Symmetrieachse der Bewehrung

d : [cm] statische Nutzhöhe

k : [] siehe oben

σ_s : [N/mm^2] Betonstahlspannung im Zustand 2

A_s : [cm^2] vorhandene Zugbewehrung

zentrischer Zug:

z.B. durch abfließen der Hydratationswärme

*1 da σ_s unbekannt ist, kann auf der sicheren Seite mit dem ersten Wert weitergerechnet werden.

23.3.6 Zulässige Spannung in der Bewehrung (damit Risse nicht zu groß werden)

$$\sigma_s = \sqrt{\frac{w_k \cdot 3,48 \cdot 10^6 \cdot (1,5)^{*1}}{\varnothing_s^*}} \text{ [N/mm}^2]$$

w_k : [mm]

\varnothing_s^* : [mm]

1: Bei Kurzzeitbeanspruchung darf \varnothing_s^ mit dem Faktor 1,5 erhöht werden. Im DVB Merkblatt „Rissbildung“ wird von dieser Erhöhung allerdings abgeraten.

23.3.7 Mindestquerschnittsfläche innerhalb der Zugzone

23.3.7.1 Stahlbetonbau

$$A_{s,min(o/u)} = k_c \cdot k \cdot f_{ct,eff} \cdot \frac{A_{ct}}{\sigma_s} \quad [\text{cm}^2]$$

$f_{ct,eff}$: [N/mm²]
 σ_s : [N/mm²]
 A_{ct} : [cm²]

23.3.7.2 Spannbetonbau

Hinweis: Spannglieder im Verbund in der Zugzone können bis zu einem Abstand ≤ 150 mm von der Mitte des Spannglieds zur Begrenzung der Rissbreite beitragen.

$$\xi_1 = \sqrt{\xi \cdot \frac{\varnothing_s}{\varnothing_p}} \quad []$$

$$A_{s,min(o/u)} = k_c \cdot k \cdot f_{ct,eff} \cdot \frac{A_{ct}}{\sigma_s} - \xi_1 \cdot A_p' \cdot \Delta\sigma_p \quad [\text{cm}^2]$$

A_p' : [cm²] Querschnittsfläche der in $A_{c,eff}$ liegenden Spannglieder
 $A_{c,eff}$: [cm²] Wirkungsbereich der Bewehrung; $A_{c,eff} = h_{c,eff} \cdot b$
 ξ : [] Verhältnis der mittleren Verbundfestigkeit von Spannstahl und Betonstahl; siehe Abbildung 13; Bei Betondruckfestigkeiten $\geq C 70/85$ sind die Werte unter „sofortiger Verbund“ zu halbieren.

\varnothing_s : [mm] größter Stabdurchmesser des Betonstahls; wenn $A_s = 0$: $\xi_1 = \sqrt{\xi}$

\varnothing_p : [mm] äquivalenter Durchmesser des Spannstahls

Bündelspannglieder: $\varnothing_p = 1,6 \cdot \sqrt{A_p}$

Einzellitzen mit 7 Drähten: $\varnothing_p = 1,75 \cdot \varnothing_{wire}$ ($\varnothing_{wire} = \varnothing_{p,nom}/3$)

Einzellitzen mit 3 Drähten: $\varnothing_p = 1,20 \cdot \varnothing_{wire}$

$\Delta\sigma_p$: [N/mm²] Spannungsänderung in den Spanngliedern bezogen auf den Zustand des ungedehnten Betons; vereinfacht $\Delta\sigma_p = 1$

| Spannstahl | ξ | | |
|-------------------------|--------------------|------------------------|------|
| | sofortiger Verbund | nachträglicher Verbund | |
| | $\leq C50/60$ | $\geq C70/85$ | |
| glatte Stäbe und Drähte | nicht anwendbar | 0,3 | 0,15 |
| Ltzen | 0,6 | 0,5 | 0,25 |
| profilierte Drähte | 0,7 | 0,6 | 0,3 |
| gerippte Stäbe | 0,8 | 0,7 | 0,35 |

ANMERKUNG Für Werte zwischen C50/60 und C70/85 darf interpoliert werden.

Abbildung 13: Verhältnis ξ [3]

23.3.8 Nachweis

$$A_{s,vorh(o/u)} \geq A_{s,min(o,u)}$$

Unterschreitung < 3% OK

24.1 Ermittlung der Effektiven Plattenbreite

24.1.1 Effektive Spannweite

$$l_{\text{effi}} = l_n + a_1 + a_2 \quad [\text{m}]$$

l_n : [m] lichte Weite
 $a_{1/2}$: [m] t/2 für Stahlbetonwand
t/3 für Mauerwerkswand

24.1.2 Abstand der Momentennullpunkte

$$\text{Einfeld} \rightarrow l_0 = l_{\text{eff}}$$

$$\text{Endfeld} \rightarrow l_0 = 0,85 \cdot l_{\text{eff1}}$$

$$\text{Stützfeld} \rightarrow l_0 = 0,15 \cdot (l_{\text{eff1}} + l_{\text{eff2}})$$

$$\text{Mittelfeld} \rightarrow l_0 = 0,7 \cdot l_{\text{eff2}}$$

$$\text{Kragfeld} \rightarrow l_0 = 1,5 \cdot l_{\text{eff3}}$$

Hinweis: Alternativ können die Momentennullpunkte auch aus einem EDV-Programm herausgelesen werden.

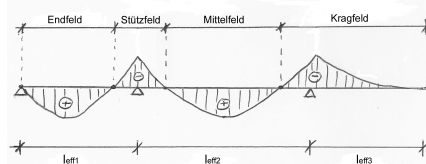


Abbildung 14: Längsschnitt durch Plattenbalken

24.1.3 Effektive Plattenbreite

$$b_i \text{ bestimmen} \rightarrow \frac{b_{\text{ges}}}{2}$$

$$b_{\text{effi}} = \min \begin{cases} 0,2 \cdot b_i + 0,1 \cdot l_0 \\ 0,2 \cdot l_0 \\ b_i \end{cases}$$

$$b_{\text{eff}} = \sum b_{\text{effi}} + b_w$$

b_{ges} : [m] lichte Spannweite der Platte ohne die Stegbreite
 l_0 : [m] Abstand der Momentennullpunkte; siehe oben

25 GZT Biegung – Verbundlose Vorspannung

25.1 Ermittlung Spannungszuwachs (s.DIN EN 1992-1-1:2011-01; 5.10.8)

Tragwerk mit externen Spanngliedern:

Schnittgrößenermittlung linear elastisch: $\Delta\sigma_{p,ULS} = 0 \text{ N/mm}^2$

Schnittgrößenermittlung nicht i.e.: genaue Berechnung

Tragwerk mit internen Spanngliedern:

Exzentrisch geführtes Spannglied: $\Delta\sigma_{p,ULS} = 100 \text{ N/mm}^2$

Alternativ bei Platten: $\Delta\sigma_{p,ULS}$ entsprechend DIN 4227, Teil 6

Zentrisch geführtes Spannglied: genaue Berechnung

25.2 $\Delta\sigma_{p,ULS}$ nach DIN 4227, Teil 6 für Platten

Einfeldträger:

$$\Delta\sigma_p = \frac{d_p}{17 \cdot L} \cdot E_p \quad [\text{N/mm}^2]$$

Herleitung: siehe Anhang

d_p : [cm] statische Nutzhöhe des Spannstahls in Feldmitte
 L : [cm] Länge des Spannglieds zwischen den Verankerungspunkten
 E_p : [N/mm²] E-Modul des Spannstahls

Zweifeldträger:

$$\Delta\sigma_p = 2 \cdot \frac{d_p}{17 \cdot L} \cdot E_p \quad [\text{N/mm}^2]$$

Hinweis: die 2 benachbarten Felder biegen sich durch

25.3 Zuwachs der Spannkraft

Spannungszuwachs $\Delta\sigma_{p,ULS} = 0$:

$\Delta P = 1,0$

σ_{pm0} : [N/mm²] gewählte Vorspannung; i.d.R. $\alpha_{CSR} \cdot \sigma_{pm0}$

σ_{pm0} : [N/mm²] vorhandene Vorspannung zum Zeitpunkt $t = 0$; i.d.R entspricht σ_{pm0} der zulässigen Spannung nach lösen der Verankerung: $\sigma_{pm0} = \min \{0,75 \cdot f_{pk}; 0,85 \cdot f_{p0,1k}\}$

f_{pk} : [N/mm²] charakteristischer Wert der Zugfestigkeit des Spannstahls St1570/1770: $f_{pk} = 1770 \text{ N/mm}^2$

$f_{p0,1k}$: [N/mm²] charakteristischer Wert der 0,1 %-Dehngrenze des Spannstahls St1570/1770: $f_{p0,1k} = 1500 \text{ N/mm}^2$

γ_s : [] Teilsicherheitsbeiwert für Beton- und Spannstahl ständig und vorübergehende Kombination: $\gamma_s = 1,15$

nur im Endzustand

Spannungszuwachs $\Delta\sigma_{p,ULS} > 0$:

$$\sigma_p = \sigma_{pm0/\infty} + \Delta\sigma_p \quad [\text{N/mm}^2]$$

$$\sigma_p \leq \frac{f_{p0,1k}}{\gamma_s} \quad [\text{N/mm}^2] \rightarrow \Delta P = \frac{\sigma_p}{\sigma_{pm0} \cdot \alpha_{CSR}} \quad []$$

(Hinweis: vorhandene Spannung σ_p ist kleiner als die Fließgrenze)

$$\sigma_p > \frac{f_{p0,1k}}{\gamma_s} \quad [\text{N/mm}^2] \rightarrow \Delta P = \frac{f_{p0,1k}}{\gamma_s \cdot \sigma_{pm0} \cdot \alpha_{CSR}} \quad []$$

25.4 Moment um Betonstahlachse

$$M_{Eds} = |M_{Ed}| - N_{Ed} \cdot \frac{z_{s1}}{100} \quad [\text{kNm}]$$

Hinweis: die Streuungen der Vorspannkraft (r_{inf} , r_{sup}) müssen nur bei den GZG Nachweisen berücksichtigt werden.

$$M_{Ed}: \text{[kNm]} M_{Ed} = 1,35 \cdot M_{g,k} + 1,5 \cdot M_{q,k} + 1,0 \cdot M_{p,k} \cdot \alpha_{CSR} \cdot \Delta P \quad [\text{kNm}]$$

$$N_{Ed}: \text{[kN]} N_{Ed} = 1,0 \cdot p \cdot \alpha_{CSR} \cdot P_0 \cdot \Delta P \quad \text{vorzeichengerecht!}$$

ΔP : [] Zuwachs der Spannkraft

z_{s1} : [cm] Abstand zwischen Schwerpunkt und Zugbewehrung der Betonstahlbewehrung

Bei Rechteckquerschnitt: $d - 0,5 \cdot h$

Plattenbalken: $d - z_{s,o/u}$

25.5 Bemessung mit Tabellen

$$\mu_{Eds} = \frac{M_{Eds} \cdot 100}{b \cdot d_s^2 \cdot f_{cd}} \quad []$$

ablesen von: ω

$$A_{s,eff.} = \frac{1}{f_{yd}} \cdot (\omega \cdot b \cdot d_s \cdot f_{cd} + N_{Ed}) \quad [\text{cm}^2]$$

d_s : [cm] statische Nutzhöhe bis zum Schwerpunkt des Betonstahl

N_{Ed} : [kN] $N_{Ed} = 1,0 \cdot p \cdot \alpha_{CSR} \cdot P_0 \cdot \Delta P \quad \text{vorzeichengerecht!}$

f_{yd} : [kN/cm²] Bemessungswert der Streckgrenze des Betonstahls; $f_{yd} = 435 \text{ N/mm}^2$

26 GZT – Biegung – Nachträglicher und Sofortiger Verbund

26.1 Hinweise:

Es stehen 3 Ansätze (Ansatz A, Ansatz B und Ansatz C) zu Verfügung, die alle zur gleichen Lösung führen.
Der statisch unbestimmte Anteil wird immer (Ansatz A, B und C) auf der Einwirkungsseite als zusätzliche Last mit $\gamma_p = 1,0$ angesetzt.
Für alle Ansätze muss zunächst die Vordehnung ermittelt werden.

26.2 Vordehnung des Spannstahls (für alle Ansätze)

Hinweis:

Die Vordehnung beschreibt bei sofortigem Verbund die Spannstahldehnung im Spannbettzustand, bzw. bei nachträglichem Verbund die Spannstahldehnung in einem fiktiven Spannbettzustand. (Spannbettzustand: Betonspannungen auf Höhe des Spannglieds = 0)
Ausgehend von der Vordehnung können die Zusatzdehnungen infolge äußerer Einwirkungen aufgebracht werden.

26.2.1 Sofortiger Verbund:

$$\varepsilon_p^{(0)} = \frac{|\sigma_{pm0}|}{E_p} []$$

Hinweis: Bei sofortigem Verbund sind direkt nach dem Vorspannen (vor dem Kappen des Spannstahls) keine Betonspannungen vorhanden. → Spannbettzustand → Die Vordehnung kann direkt angegeben werden.

σ_{pm0} : [N/mm²] Spannung im Spannglied unmittelbar nach dem Vorspannen.

σ_{pm0} : [N/mm²] Spannung im Spannglied unmittelbar nach dem Vorspannen.

E_p : [N/mm²] Elastizitätsmodul der Spannglieder;
 $E_p = 200.000$ N/mm²

26.2.2 Nachträglicher Verbund:

$$\varepsilon_p^{(0)} = \left(\frac{|\sigma_{pm\infty}|}{E_p} + \frac{|\sigma_{cp,t=\infty}|}{E_c} \right) []$$

Hinweise:

Der Spannstahlquerschnitt dehnt sich zunächst infolge der aufgebrachten Spannung σ_{pm0} . Es entstehen Druckspannungen im Beton. Um diese Betondruckspannungen aufzuheben, muss eine zusätzliche Spannstahldehnung erzeugt werden, bis auf Höhe der Spanngliedlage Dekompression herrscht. Erst dann ist der fiktive Spannbettzustand und somit die Vordehnung erreicht.

Bei nachträglichem Verbund müssen die Spannkraftverluste (α_{csr}) berücksichtigt werden

$\sigma_{pm\infty}$: [N/mm²] Spannung im Spannglied zum Zeitpunkt t = ∞

$\sigma_{cp,t=\infty}$: [N/mm²] Betonspannung infolge Vorspannung in Höhe des betrachteten Spannglieds zum Zeitpunkt t = ∞

α_{csr} : [] Beiwert zur Berücksichtigung der Schwind- Kriech- und Relaxationsverluste

σ_{pm0} : [N/mm²] Spannung im Spannglied unmittelbar nach dem Vorspannen.

E_c : [N/mm²] Elastizitätsmodul für Beton

E_p : [N/mm²] Elastizitätsmodul der Spannglieder;
 $E_p = 195.000$ N/mm²

$M_{p,dir}$: [kNm] Statisch bestimmter Anteil des Momentes aus Vorspannung; $M_{p,dir} = P_{m0} \cdot z_{cp}$

z_{cp} : [cm] Abstand zwischen Schwerelinie des Querschnitts und Spannglied

I_c : [cm⁴] Flächenträgheitsmoment des Bruttoquerschnitts

mit:

$$\sigma_{pm\infty} = \frac{P_{m0}}{A_p} \cdot \alpha_{csr} [\text{kN/cm}^2]$$

$$\sigma_{cp,t=\infty} = \left(- \frac{|P_{m0}|}{A_c} - \frac{|M_{p,dir}| \cdot 100 \cdot z_{cp}}{I_c} \right) \cdot \alpha_{csr} + \frac{|M_{Ed,g}| \cdot 100 \cdot z_{cp}}{I_c} [\text{kN/cm}^2]$$

Hinweis:

Der Anteil aus Eigengewicht wird nur berücksichtigt wenn das Eigengewicht beim Spannen durch heben von der Schalung aktiviert wird. In der Regel kann dieser Anteil vernachlässigt werden.

26.3 Zusatzdehnung (durch äußere Einwirkungen)

Hinweis:

Die Zusatzdehnung kann mit dem Allgemeinen Bemessungsdiagramm oder Bemessungstabellen ermittelt werden.

26.3.1 Ansatz A

Hinweis: Bei diesem Ansatz wird die gesamte Dehnung des Spannstahls (Vordehnung & Zusatzdehnung) auf der Widerstandsseite angesetzt. Die Durchführung der Bemessung erfolgt am Gesamtquerschnitt aus Beton, Betonstahl und Spannstahl. Hierbei sind die Bemessungsschnittgrößen auf die Schwerachse der Spannbewehrung zu beziehen.

$$\mu_{Eds} = \frac{M_{Eds} \cdot 100}{b \cdot d_p^2 \cdot f_{cd}} \quad [\text{]}]$$

ablesen von: $\omega, \Delta\epsilon_p, \zeta$

$$\epsilon_p = \epsilon_p^{(0)} + \Delta\epsilon_p \quad [\text{]}]$$

$$\epsilon_p \leq \frac{f_{p0,1k}}{E_p \cdot \gamma_s} : \sigma_{pd} = \epsilon_{pd} \cdot E_p \quad [\text{N/mm}^2]$$

$$\epsilon_p > \frac{f_{p0,1k}}{E_p \cdot \gamma_s} : \sigma_{pd} = \frac{f_{p0,1k}}{\gamma_s} \quad [\text{N/mm}^2]$$

Hinweise zu Abbildung 15:

- Die Spannstahlspannung erreicht nicht die 0,1% Dehngrenze. (Hooksches Gesetz)
- Die Spannstahlspannung überschreitet die 0,1% Dehngrenze:
- Die Spannstahldehnungsgrenze ist erreicht:

M_{Eds} : [kNm] Bemessungsmoment bezogen auf den Spannstahlquerschnitt;
 $M_{Eds} = 1,35 \cdot M_g + 1,5 \cdot M_q + 1,0 \cdot \alpha_{csr} \cdot M_{p,ind}$ (für $N_{Ed} = 0$)
Vorzeichen!!

$M_{p,ind}$: [kNm] statisch unbestimmter Anteil des Vorspannmomentes (bei statisch bestimmten Systemen nicht vorhanden)

d_p : [cm] statische Nutzhöhe bis zum Schwerpunkt der Spannstahlbewehrung

E_p : [N/mm²] Bemessungswert des Elastizitätsmodul; $E_p = 195.000$

$f_{p0,1k}$: [N/mm²] charakteristischer Wert der 0,1 %-Dehngrenze des Spannstahls; St1570/1770: $f_{p0,1k} = 1500$ N/mm²

γ_s : [] Teilsicherheitsbeiwert für Beton- und Spannstahl ständig und vorübergehende Kombination: $\gamma_s = 1,15$

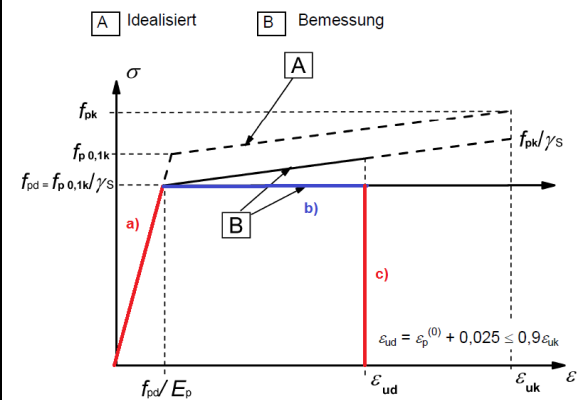


Abbildung 15: Spannungs- Dehnungslinie des Spannstahls [3]

Allgemeines Bemessungsdiagramm:

$$A_{p,erf.} = \frac{1}{\sigma_{pd}} \cdot \left(\frac{M_{Eds}}{\zeta \cdot d_p} + N_{Ed} \right) \quad [\text{cm}^2]$$

Bemessungstabelle:

$$A_{p,erf.} = \frac{1}{\sigma_{pd}} \cdot (\omega \cdot b \cdot d_p \cdot f_{cd} + N_{Ed}) \quad [\text{cm}^2]$$

Nachweis:

$$A_{p,erf.} \leq A_{p,vorh.} \rightarrow \text{NW Ok}$$

$A_{p,erf.} > A_{p,vorh.} \rightarrow$ Bewehrung einlegen:

$$A_{s,erf.} = (A_{p,erf.} - A_{p,vorh.}) \cdot \frac{\sigma_{pd}}{\sigma_{sd}} \cdot \frac{d_p - a}{d_s - a} \quad [\text{cm}^2]$$

d_p : [cm] statische Nutzhöhe bis zum Schwerpunkt der Spannstahlbewehrung

N_{Ed} : [kN] Normalkraft im Querschnitt; i.d.R. gilt: $N_{Ed} = 0$, da die Vorspannung auf der Widerstandsseite berücksichtigt wird.

$$\sigma_{sd}$$
: [N/mm²] $\sigma_{sd} = \frac{f_{vk}}{\gamma_s} = 435 \text{ N/mm}^2$

γ_s : [] Teilsicherheitsbeiwert für Beton- und Spannstahl ständig und vorübergehende Kombination: $\gamma_s = 1,15$

a: [cm] Abstand zwischen Querschnittsrand und Druckkraft F_{cd} ; $a = d_p - z_p$

z_p: [cm] innerer Hebelarm; $z_p = \zeta \cdot d_p$

26.3.2 Ansatz B

Hinweis: Bei diesem Ansatz wird die Spanngliedkraft F_{p1} , die der Vordehnung $\varepsilon_p^{(0)}$ des Spannstahls entspricht, als äußere Einwirkung auf Höhe der Schwerachse der Spannglieder angesetzt. Es wird ein Gesamtquerschnitt betrachtet, der aus Beton, Betonstahl und scheinbar ungedehntem Spannstahl besteht. Die Bemessungs-schnittrößen sind auf die Schwerachse der Spannbewehrung zu beziehen.

$$\mu_{Eds} = \frac{M_{Eds} \cdot 100}{b \cdot d_p^2 \cdot f_{cd}} \quad [] \rightarrow \text{ablesen von: } \omega, \Delta\varepsilon_p$$

M_{Eds}: [kNm] Bemessungsmoment;

$$M_{Eds} = 1,35 \cdot M_g + 1,5 \cdot M_q + 1,0 \cdot \alpha_{csr} \cdot M_{p,ind}$$

M_{p,ind}: [kNm] statisch unbestimmter Anteil des Vorspannmomentes (bei statisch bestimmten Systemen nicht vorhanden)

d_p: [cm] statische Nutzhöhe bis zum Schwerpunkt der Spannstahlbewehrung

Spannstahlspannung aus Vordehnung:

$$\sigma_p^0 = E_p \cdot \varepsilon_p^{(0)} \quad [\text{N/mm}^2]$$

Nutzbare Spannstahlspannung:

$$\Delta\sigma_{pd} = \min \left\{ \begin{array}{l} E_p \cdot \Delta\varepsilon_p \quad [\text{N/mm}^2] \\ \frac{f_{p0,1k}}{\gamma_s} - \sigma_p^0 \quad [\text{N/mm}^2] \end{array} \right.$$

E_p: [N/mm²] Elastizitätsmodul der Spannglieder;

$$E_p = 195.000 \text{ N/mm}^2$$

$\varepsilon_p^{(0)}$: [] Vordehnung; siehe oben

$\Delta\varepsilon_p$: [] Zusatzdehnung infolge äußerer Einwirkung

$$f_{p0,1k}: \text{[N/mm}^2\text{]} \text{ charakteristischer Wert der 0,1 %-Dehngrenze des Spannstahls; St1570/1770: } f_{p0,1k} = 1500 \text{ N/mm}^2$$

γ_s : [] Teilsicherheitsbeiwert für Beton- und Spannstahl ständig und vorübergehende Kombination: $\gamma_s = 1,15$

Spanngliedkraft aus Vorspannung:

$$F_{p1}^{(0)} = E_p \cdot A_p \cdot \varepsilon_p^{(0)} \quad [\text{kN}]$$

Bemessungstabelle:

$$A_{p,erf.} = \frac{1}{\Delta\sigma_{pd} \cdot 0,1} \cdot (\omega \cdot b \cdot d_p \cdot f_{cd} + N_{Ed} - F_{p1}^{(0)}) \quad [\text{cm}^2]$$

E_p: [kN/m²] Elastizitätsmodul der Spannglieder; $E_p = 19.500 \text{ N/mm}^2$

A_p: [cm²] Querschnittsfläche des Spannstahls

$\varepsilon_p^{(0)}$: [] Vordehnung; siehe oben

Allgemeines Bemessungsdiagramm:

$$A_{p,erf.} = \frac{1}{\Delta\sigma_{pd}} \cdot \left(\frac{M_{Eds} \cdot 100}{\zeta \cdot d_p} + N_{Ed} - F_{p1}^{(0)} \right) \quad [\text{cm}^2]$$

$\Delta\sigma_{pd}$: [N/mm²] Nutzbare Spannstahlspannung; siehe oben

M_{Eds}: [kNm] Bemessungsmoment;

$$M_{Eds} = 1,35 \cdot M_g + 1,5 \cdot M_q + 1,0 \cdot \alpha_{csr} \cdot M_{p,ind}$$

M_{p,ind}: [kNm] statisch unbestimmter Anteil des Vorspannmomentes

d_p: [cm] statische Nutzhöhe des Spannstahlquerschnittes

N_{Ed}: [kN] Normalkraft im Querschnitt

Nachweis:

$$A_{p,erf.} \leq A_{p,vorh.} \rightarrow \text{NW Ok}$$

$A_{p,erf.} > A_{p,vorh.} \rightarrow$ Bewehrung einlegen:

$$A_{s,erf.} = (A_{p,erf.} - A_{p,vorh.}) \cdot \frac{\Delta\sigma_{pd}}{\sigma_{sd}} \cdot \frac{d_p - a}{d_s - a} \quad [\text{cm}^2]$$

$$\sigma_{sd}: \text{[N/mm}^2\text{]} \quad \sigma_{sd} = \frac{500}{\gamma_s} = 435 \text{ N/mm}^2$$

γ_s : [] Teilsicherheitsbeiwert für Beton- und Spannstahl ständig und vorübergehende Kombination: $\gamma_s = 1,15$

26.3.3 Ansatz C

Hinweis: Bei diesem Ansatz wird die Vorspannkraft F_{p1} , die der Gesamtdehnung (Vordehnung $\varepsilon_p^{(0)}$ & Zusatzdehnung) des Spannstahls entspricht, als eine in Spanngliedachse einwirkende Kraft berücksichtigt. Für die Bemessung wird ein fiktiver Stahlbetonquerschnitt betrachtet.

Spanngliedkraft:

Hinweis: es wird zunächst angenommen, dass die Spannglieder die Fließspannung erreichen.

$$F_{p1} = A_p \cdot \frac{f_{p0,1k}}{\gamma_s} \cdot 0,1 \quad [\text{kN}]$$

Moment bezogen auf Bewehrungsstahl:

$$M_{sds} = |M_{Eds}| + |F_{p1}| \cdot \Delta a$$

$$\mu_{sds} = \frac{M_{sds} \cdot 100}{b \cdot d_s^2 \cdot f_{cd}} \quad [] \rightarrow \text{ablesen von: } \omega, \Delta\varepsilon_{s1}, \xi$$

A_p: [cm²] Querschnittsfläche des Spannstahls

f_{p0,1k}: [N/mm²] charakteristischer Wert der 0,1 %-Dehngrenze des Spannstahls; St1570/1770: $f_{p0,1k} = 1500 \text{ N/mm}^2$

γ_s : [] Teilsicherheitsbeiwert für Beton- und Spannstahl ständig und vorübergehende Kombination: $\gamma_s = 1,15$

M_{Eds}: [kNm] Bemessungsmoment;

$$M_{Eds} = 1,35 \cdot M_g + 1,5 \cdot M_q + 1,0 \cdot \alpha_{csr} \cdot M_{p,ind}$$

Δa : [m] Abstand zwischen Spannstahl und Bewehrungsstahl; $\Delta a = d_s - d_p$

d_s: [cm] statische Nutzhöhe bis zum Schwerpunkt des Betonstahl

Spannstahldehnung:

$$\Delta\varepsilon_p = \frac{\Delta\varepsilon_s}{d_s - x} \cdot (d_p - x) \quad []$$

$\varepsilon_p^{(0)}$: [] Vordehnung; siehe oben

$$f_y: \text{[N/mm}^2\text{]} = 500$$

γ_s : [] Teilsicherheitsbeiwert für Beton- und Spannstahl ständig und vorübergehende Kombination: $\gamma_s = 1,15$

x: [cm] Druckzonenhöhe

d_s: [cm] statische Nutzhöhe bis zum Schwerpunkt des Betonstahl

d_p: [cm] statische Nutzhöhe bis zum Schwerpunkt der Spannstahlbewehrung

Überprüfung der Annahme von F_{p1} :

$$\Delta\varepsilon_p \geq \frac{f_{p0,1k}}{\gamma_s \cdot E_p} \quad [] \rightarrow \text{Spannstahl fließt, Annahme OK} \rightarrow \sigma_s = \frac{f_y}{\gamma_s} \quad [\text{N/mm}^2]$$

$$\Delta\varepsilon_p < \frac{f_{p0,1k}}{\gamma_s \cdot E_p} \quad [] \rightarrow \text{Spannstahl fließt nicht, Iteration mit kleinerem } F_{p1}$$

Bemessungstabelle:

$$A_{s,erf.} = \frac{1}{\sigma_s \cdot 0,1} \cdot (\omega \cdot b \cdot d_s \cdot f_{cd} + N_{Ed} - F_{p1}) \quad [\text{cm}^2]$$

Nachweis:

$$A_{s,erf.} \leq 0: \text{keine zusätzliche schlaffe Bewehrung erf.}$$

N_{Ed}: [kN] Normalkraft infolge äußerer Einwirkungen im Querschnitt

d_s: [cm] statische Nutzhöhe bis zum Schwerpunkt des Betonstahl

27.1 Widerstandmoment

Rechteckquerschnitt: $W_o = W_u = \frac{b \cdot h^2}{6}$

$I_y: [\text{cm}^4]$ Flächenträgheitsmoment um die y-Achse; $I_y = \sum \frac{b \cdot h^3}{12} \cdot A \cdot z_{(o/u)}^2$

$z_0: [\text{cm}]$ Abstand Schwerpunkt von Querschnitt zum oberen Rand.

$z_u: [\text{cm}]$ Abstand Schwerpunkt von Querschnitt zum unteren Rand.

Allgemein (z.B. PB): $W_o = \frac{I_y}{z_0}$; $W_u = \frac{I_y}{z_u}$

27.2 Rissmoment:

$$M_{cro} = W_o \cdot f_{ctm} \quad [\text{KNcm}/(\text{m})]$$

W: $[\text{cm}^3]$ Widerstandsmoment; siehe oben

f_{ctm}: $[\text{kN}/\text{cm}^2]$ Mittelwert der zentrischen Betonzugfestigkeit; siehe Anhang

$$M_{cru} = W_u \cdot f_{ctm} \quad [\text{KNcm}/(\text{m})]$$

27.3 Risskraft**An Stütze (Zug oben):**

$$F_{sro} = \frac{M_{cr,o}}{z} \quad [\text{KN}]$$

z: $[\text{cm}]$ innerer Hebelarm; vereinfacht = $0,9 \cdot d$

d: $[\text{cm}]$ statische Nutzhöhe

Im Feld (Zug unten):

$$F_{sru} = \frac{M_{cr,u}}{z} \quad [\text{KN}]$$

27.4 Mindestbewehrung

$$\min A_s = \frac{F_{sr}}{50} \quad [\text{cm}^2/(\text{m})]$$

Hinweis:

bei Spannbetonbauteilen mit sofortigem und nachträglichem Verbund darf die Mindestbewehrung um $1/3 \cdot A_{p,vorh.}$ reduziert werden, wenn mindestens 2 Spannglieder vorhanden sind und die Spannglieder nicht mehr als min { $0,2 \cdot h$; 250mm} von der Betonstahlbewehrung entfernt liegen.

27.5 Nachweis:

$$\min A_s \leq \text{Grundbewehrung}$$

Hinweis:

Bei zweiachsig gespannten Platten ist die Mindestbewehrung nur in Haupttragrichtung notwendig. (DIN EN 1992-1-1/NA:2013-04; NCI zu 9.3.1.1(1))

28 GZT - Ermittlung der Bemessungsquerkraft

28.1 Allgemein

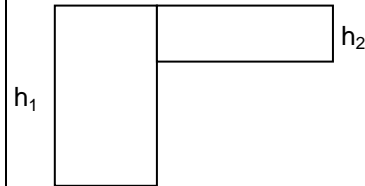
Bei direkter Lagerung und bei gleichmäßig verteilten Lasten kann mit der Querkraft im Abstand d vom Auflagerrand gerechnet werden. (s.DIN EN 1992-1-1; 6.2.1(8))
Bei indirekter Lagerung ist die Querkraft am Auflagerrand maßgebend.

28.2 Bestimmung der Lagerungsart

Auflage auf Wand/Stütze → direkte Lagerung

Aufhängung an Überzug → indirekte Lagerung

Auflage auf Unterzug $\begin{cases} h_1 - h_2 \geq h_2 \rightarrow \text{direkte Lagerung} \\ h_1 - h_2 < h_2 \rightarrow \text{indirekte Lagerung} \end{cases}$



28.3 Stelle der maßgebenden Querkraft

direkte Lagerung:

- Endauflager aus Mauerwerk, Beton ohne Einspannung $\rightarrow x_v = \frac{t}{3} + d_s$ [m]
- Zwischenauflager + Endauflager mit Einspannung $\rightarrow x_v = \frac{t}{2} + d_s$ [m]

t: [m] Auflagerbreite
d_s: [cm] statische Nutzhöhe bis zum Schwerpunkt des Betonstahl

indirekte Lagerung:

- Endauflager aus Mauerwerk, Beton ohne Einspannung $\rightarrow x_v = \frac{t}{3}$ [m]
- Zwischenauflager + Endauflager mit Einspannung $\rightarrow x_v = \frac{t}{2}$ [m]

Bei geneigten Bauteilkanten:

Ermittlung von x_v über Strahlensatz

28.4 Ermittlung der reduzierten Querkraft

$$V_{\text{red}} = |\text{extr}V| - f \cdot x_v \text{ [KN/(m)]}$$

extrV: [KN/(m)] maximale maßgebende Querkraft in V-Verlauf
f: [KN/m⁽²⁾] Strecken oder Flächenlast
x_v: [m] siehe oben

28.5 Querkraft bei geneigten Bauteilkanten

$$V_{\text{Ed},w} = V_{\text{Ed},0} - V_{\text{ccd}} - V_{\text{td}} - V_{\text{pd}} \text{ [kN]}$$

Mit:

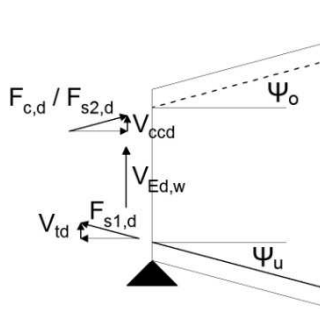
$$V_{\text{Ed},0} = 1,35 \cdot V_{g,k} + 1,5 \cdot V_{q,k} \text{ [kN]}$$

$$V_{\text{ccd}} = (F_{c,d} + F_{s2,d}) \cdot \tan \psi_o = \left(\frac{M_{\text{Eds}}}{z} \right) \cdot \tan \psi_o \text{ [kN]}$$

$$V_{\text{td}} = F_{s1,d} \cdot \tan \psi_u = \left(\frac{M_{\text{Eds}}}{z} + N_{\text{Ed}} \right) \cdot \tan \psi_u \text{ [kN]}$$

$$V_{\text{pd}} = 1,0 \cdot F_{pk} \cdot \tan \psi_u \text{ [kN]}$$

Hinweis: Die Auswirkung der Bauteilneigung ist günstig, wenn sich die Bauteilhöhe mit zunehmendem Biegemoment vergrößert.



V_{Ed,w}: [kN] tatsächlich schuberzeugende Querkraft

V_{Ed,0}: [kN] Bemessungswert der einwirkenden Querkraft

V_{ccd}: [kN] Querkraftkomponente der Betondruckkraft parallel zu V_{Ed,0}

V_{td}: [kN] Querkraftkomponente der Stahlzugkraft F_{s1,d} parallel zu V_{Ed,0}

V_{pd}: [kN] Querkraftkomponente der Spannstahlkraft F_{pd} parallel zu V_{Ed,0}

ψ_o: [°] Neigung der Bauteiloberkante

ψ_u: [°] Neigung zwischen Horizontalachse und Bewehrung

M_{Eds}: [kNm] Bemessungsmoment; M_{Eds} = M_{Ed} - N_{Ed} • z

N_{Ed}: [kN] Normalkraft im Träger infolge äußerer Lasten (keine Vorspannung)

z: [m] innerer Hebelarm; i.d.R.: z = 0,9 • d_s

29 Bauteile ohne Querkraftbewehrung (Platten → $b \geq 5 \cdot h_0$)

29.1 Einfluss der Bauteilhöhe:

$$k = \min \left\{ 1 + \sqrt{\frac{200}{d_s}}, 2 \right\}$$

d_s : [mm] statische Nutzhöhe bis zum Schwerpunkt des Betonstahl

29.2 Längsbewehrungsgrad:

$$\rho_l = \frac{a_{sl}}{b_w \cdot d} \leq 0,02$$

a_{sl} : [cm²/m] Hauptbewehrung; nur Zugbewehrung infolge Biegebemessung; nur Bewehrung, die über das Auflager geführt wird.

b_w : [cm] kleinste Querschnittsbreite in der Zugzone
bei Platte: $b = 100\text{cm}$

d_s : [cm] statische Nutzhöhe bis zum Schwerpunkt des Betonstahl

29.3 Querkraftwiderstand (s. DIN EN 1992-1-1; 6.2.2)

29.3.1 Beiwert x

wenn $d_s \leq 600\text{mm} \rightarrow x = 0,0525$

wenn $600\text{mm} < d_s < 800\text{mm} \rightarrow$ Interpolation: $x = 0,0975 - 0,075 \cdot d_{s,vorh.}$

wenn $d_s > 800\text{mm} \rightarrow x = 0,0375$

d_s : [m] statische Nutzhöhe bis zum Schwerpunkt des Betonstahl

29.3.2 Grundwert der Querkrafttragfähigkeit

$$V_{Rd,c} = \left[\frac{0,15}{\gamma_c} \cdot k \cdot \sqrt[3]{100 \cdot \rho_l \cdot f_{ck}} + 0,12 \cdot \sigma_{cp} \right] \cdot b_w \cdot d_s [\text{MN/m}]$$

γ_c : [] Sicherheitsbeiwert = 1,5

k : [] Einfluss der Bauteilhöhe; siehe oben

f_{ck} : [N/mm²] Betondruckfestigkeit

σ_{cp} : [MN/m²] Zugspannung im Beton

Betonzugspannungen sind negativ einzusetzen.

b_w : [m/m] kleinste Querschnittsbreite in der Zugzone
bei Platte: $b_w = 1,0\text{m}/\text{m}$

d_s : [cm] statische Nutzhöhe bis zum Schwerpunkt des Betonstahl

29.3.3 Mindestwert der Querkrafttragfähigkeit

$$V_{min} = \frac{x}{\gamma_c} \cdot k \cdot \sqrt{k \cdot f_{ck}} [\text{MN/m}^2]$$

γ_c : [] Sicherheitsbeiwert = 1,5

k : [] Einfluss der Bauteilhöhe; siehe oben

f_{ck} : [N/mm²] Betondruckfestigkeit

b_w : [m/m] kleinste Querschnittsbreite in der Zugzone

bei Platte: $b_w = 1,0\text{m}/\text{m}$

d_s : [cm] statische Nutzhöhe bis zum Schwerpunkt des Betonstahl

V_{min} : [MN/m²]

k_1 : [] = 0,12

29.3.4 Maßgebende Querkrafttragfähigkeit

$$\text{maß } V_{Rd,c} = \max \left\{ V_{Rd,c} [\text{MN/m}], V_{Rd,c,min} [\text{MN/m}] \right\}$$

29.4 Nachweis

$V_{Ed,\text{red}} \leq V_{Rd,c} \rightarrow$ keine Querkraftbewehrung erforderlich

$V_{Ed,\text{red}} > V_{Rd,c} \rightarrow$ Querkraftbewehrung erforderlich. Weiter mit Punkt 30

30 Bauteile mit erforderlicher Querkraftbewehrung

30.1 Innerer Hebelarm

$$z = \min \left\{ 0,9 \cdot d_s \text{ [cm]}, \max \{ d_s - 2 \cdot c_{v,I}; d_s - c_{v,I} - 3 \} \text{ [cm]} \right\}$$

z: [cm] innerer Hebelarm bei Bauteil mit konstanter Höhe
d_s: [cm] statische Nutzhöhe bis zum Schwerpunkt des Betonstahl
c_{v,I}: [cm] Verlegemaß der Längsbewehrung in der Betondruckzone

30.2 Druckstrebeneigungswinkel

vereinfacht:

$\cot \theta = 1,2$ für Biegung/ Biegung + Druckkraft

$\cot \theta = 1,0$ für Biegung + Zugkraft

genauer:

$$\cot \theta = \frac{1,2 + 1,4 \cdot \frac{\sigma_{cd}}{f_{cd}}}{1 - \frac{V_{Rd,cc}}{V_{Ed}}} \quad []$$

$1,0 \leq \cot \theta \leq 3,0$ (bei geneigter Querkraftbewehrung: $0,58 \leq \cot \theta \leq 3,0$)

$$\text{mit: } V_{Rd,cc} = c \cdot 0,48 \cdot \sqrt[3]{f_{ck}} \cdot \left(1 - 1,2 \cdot \frac{\sigma_{cd}}{f_{cd}} \right) \cdot b_w \cdot z \cdot 0,1 \quad [\text{kN}]$$

Hinweise:

- es ist immer der kleinste Druckstrebeneigungswinkel maßgebend!

σ_{cd} : [N/mm²] Spannung aus Längskraft infolge Last oder Vorspannung = N_{Ed}/A_c (i.d.R.: $\sigma_{cd} = 0$)
 Betonzugspannungen sind negativ einzusetzen

f_{cd}: [N/mm²] Bemessungswert der einaxialen Druckfestigkeit

f_{ck}: [N/mm²] charakteristische Betondruckfestigkeit

V_{Rd,cc}: [KN/m] siehe oben

V_{Ed}: [KN/m] Maximalwert der einwirkenden Querkraft

c: [] = 0,5

b_w: [cm] kleinste Querschnittsbreite zwischen Bewehrungsschwerpunkt und der Druckresultierenden.
 für Streifenfundament: $b_w = 100\text{cm}$

z: [cm] innerer Hebelarm; siehe oben

30.3 Beiwerte (s. DIN EN 1992-1-1 NA; 6.2.3(3))

$$\alpha_{cw} = 1,0$$

a_{cw}: [] Beiwert zur Berücksichtigung des Spannungszustands im Druckgurt.

$$v_2 = 1,0 \text{ für } \leq C50/60$$

v₁: [] Abminderungsbeiwert für die Betonfestigkeit bei Schubrisse

$$v_2 = \left(1,1 - \frac{f_{ck}}{500} \right) \text{ für } \geq C55/67$$

f_{ck}: [N/mm²] charakteristische Betondruckfestigkeit

$$v_1 = 0,75 \cdot v_2 \quad []$$

30.4 Aufnehmbare Querkraft - Betondruckstrebe s. DIN EN 1992-1-1; 6.2.3(3)

$$\alpha = 90^\circ: V_{Rd,max} = \alpha_{cw} \cdot b_w \cdot z \cdot v_1 \cdot f_{cd} \cdot \frac{1}{\cot \theta + \frac{1}{\tan \alpha}} \quad [\text{kN}/(\text{m})]$$

a_{cw}: [] Beiwert; siehe oben

b_w: [cm] kleinste Querschnittsbreite zwischen Bewehrungsschwerpunkt und Druckresultierenden.

Wenn im Steg Spannglieder angeordnet sind: (s. EC2:2011-01; 6.2.3(6))

- Bei verpressten Metallhüllrohren mit Betonen < C55/67 und $\sum \emptyset \geq b_w/8$:
 $b_{w,nom} = b_w - 0,5 \cdot \sum \emptyset$
- Bei verpressten Metallhüllrohren mit Betonen $\geq C55/67$ und wenn $\sum \emptyset \geq b_w/8$:
 $b_{w,nom} = b_w - 1,0 \cdot \sum \emptyset$
- Bei verpressten Metallhüllrohren und $\sum \emptyset < b_w/8$:
 $b_{w,nom} = b_w$
- Bei nichtverpressten Hüllrohren, Kunststoffhüllrohren und Spannglieder ohne Verbund:
 $b_{w,nom} = b_w - 1,2 \cdot \sum \emptyset$

$\sum \emptyset$: [cm] Summe der Querschnittsschwächung infolge Spannglieder in einem horizontalen Schnitt

z: [cm] innerer Hebelarm; siehe oben

v₁: [] Beiwert; siehe oben

f_{cd}: [kN/cm²] Bemessungswert der einaxialen Druckfestigkeit

$$\alpha < 90^\circ: V_{Rd,max} = \alpha_{cw} \cdot b_w \cdot z \cdot v_1 \cdot f_{cd} \cdot \frac{\cot \theta + \frac{1}{\tan \alpha}}{1 + \cot^2 \theta} \quad [\text{kN}/(\text{m})]$$

30.5 Aufnehmbare Querkraft - Querkraftbewehrung s. DIN EN 1992-1-1; 6.2.3(3)

$$\alpha = 90^\circ: V_{Rd,s} = a_{sw} \cdot f_{ywd} \cdot z \cdot \cot \theta \quad [\text{KN}/(\text{m})]$$

a_{sw}: [cm²/m] gewählte Querkraftbewehrung = $\frac{A_{sw}}{s_w}$

$$\alpha < 90^\circ: V_{Rd,s} = a_{sw} \cdot f_{ywd} \cdot z \cdot (\cot \theta - \cot \alpha) \cdot \sin \alpha \quad [\text{KN}/(\text{m})]$$

f_{ywd}: [KN/cm²] Bemessungswert der Streckgrenze der Querkraftbewehrung.

$$f_{ywd} = f_{yk} / \gamma_s \quad (\text{i.d.R.: } f_{yk} = 50\text{KN/cm}^2)$$

Hinweis: $V_{Rd,s}$ kann nur bei bekannter Bewehrung ermittelt werden.

γ_s : [] Teilsicherheitsbeiwert für Beton- und Spannstahl ständig und vorübergehende Kombination: $\gamma_s = 1,15$

z: [m] innerer Hebelarm; siehe oben

α : [°] Winkel zwischen Querkraftbewehrung und Bauteilachse

30.6 Nachweis

extr. $V_{Ed} \leq V_{Rd,max} \rightarrow$ Druckstrebe versagt nicht

30.7 Erforderliche Bewehrung

$$\alpha = 90^\circ: a_{sw,erf} \geq \frac{V_{Ed,red} \cdot s_w}{f_{ywd} \cdot z \cdot \cot \theta} [\text{cm}^2/\text{m}]$$

(Bewehrung für 1m Trägerlänge)

$$\alpha < 90^\circ: a_{sw,erf} \geq \frac{V_{Ed,red} \cdot s_w}{f_{ywd} \cdot z \cdot (\cot \theta + \frac{1}{\tan \alpha}) \cdot \sin \alpha} [\text{cm}^2/\text{m}]$$

Hinweis: Wenn an einem Bauteil Lasten von unten angreifen (z.B. Platte hängt an einem Überzug) ist eine Aufhängebewehrung erforderlich. (s.DIN EN 1992-1-1; 6.2.1(9))

$$\Delta a_{sw} = \frac{f_d}{43,5} [\text{cm}^2/(\text{m})] \rightarrow \text{tot } a_{sw} = a_{sw} + \Delta a_{sw} [\text{cm}^2/(\text{m})]$$

V_{Ed,red}: [KN/m] reduzierte Querkraft; siehe oben
s_w: [m] Abstand der Querkraftbewehrung (vereinfacht 1,0 bzw. beim Fundament a-d = Lasteinzugsbereich)
f_{ywd}: [KN/cm²] Bemessungswert der Streckgrenze der Querkraftbewehrung. f_{ywd} = f_{yk}/γ_s (i.d.R.: f_{yk} = 50KN/cm²)
γ_s: [] Teilsicherheitsbeiwert für Beton- und Spannstahl ständig und vorübergehende Kombination: γ_s = 1,15
z: [m] innerer Hebelarm; siehe oben
cot θ: [rad] Druckstrebenneigungswinkel
α: [°] Winkel zwischen Querkraftbewehrung und Bauteilachse

30.8 Konstruktive Regeln

30.8.1 Mindestquerkraftbewehrung

für allgemeine Fälle:

$$\rho_{w,min} = 0,16 \cdot \frac{f_{ctm}}{f_{yk}} []$$

für gegliederte Querschnitte mit vorgespanntem Zuggurt:

$$\rho_{w,min} = 0,256 \cdot \frac{f_{ctm}}{f_{yk}} []$$

$$\min a_{sw} = \rho_{w,min} \cdot b_w \cdot \sin \alpha \cdot 100 [\text{cm}^2/\text{m}]$$

α: [°] Winkel zwischen Querkraftbewehrung und Bauteilachse für lotrechte Bewehrung α = 90° ; sin α = 1

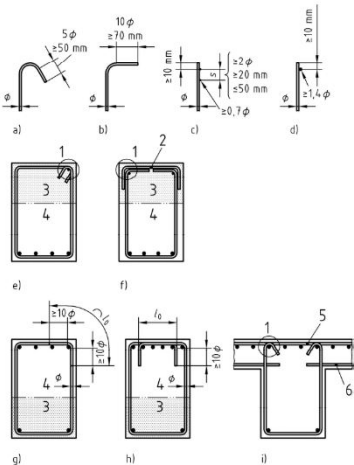
b_w: [cm] kleinste Querschnittsbreite zwischen Bewehrungsschwerpunkt und der Druckresultierenden. für Platte: b_w = 100cm

f_{ctm}: [N/mm²] Zugfestigkeit von Beton; siehe Anhang Tab. 3.1
f_{yk}: [N/mm²] charakteristische Streckgrenze von Betonstahl B500: f_{yk}= 500 N/mm²

30.8.2 Höchstlängsabstände der Querkraftbewehrung

$$\frac{V_{Ed,red}}{V_{Rd,max}} \left\{ \begin{array}{l} < 0,3 \rightarrow \text{siehe Anhang Tabelle NA9.1} \\ \leq 0,6 \text{ aber } > 0,3 \rightarrow \text{siehe Anhang Tabelle NA9.1} \\ > 0,6 \rightarrow \text{siehe Anhang Tabelle NA9.1} \end{array} \right.$$

31 Verankerung von Querkraftbewehrung



- Legende**
- 1 Verankerungselemente nach a) bzw. b)
 - 2 Kappenbügel
 - 3 Betondruckzone
 - 4 Betonzone
 - 5 obere Querbewehrung
 - 6 untere Bewehrung der anschließenden Platte
 - a) Haken
 - b) Winkelhaken
 - c) gerade Stabenden mit zwei angeschweißten Querstäben
 - d) gerade Stabenden mit einem angeschweißten Querstab
 - e) und f) Schließen in der Druckzone
 - g) und h) Schließen in der Zugzone (l₀ mit α₁ = 0,7 nach Tabelle 8.2 mit Haken oder Winkelhaken am Bügelsende)
 - i) Schließen bei Plattenbalken im Bereich der Platte

ANMERKUNG Für c) und d) darf in der Regel die Betondeckung nicht weniger als 3φ oder 50 mm betragen.

Abbildung 16: Verankerung und Schließen von Bügeln [1]

32 Querkraftdeckungslinie

32.1 Allgemein

Bei erforderlicher Aufhängebewehrung Querkraftverlauf um die Zusatzkraft ΔV_{Ed} nach oben verschieben:

$$\Delta V_{Ed} = f_d \cdot z \cdot \cot \theta$$

f_d: [KN/(m)] angreifende Last ; z.B.: Auflagerkraft der Platte
z: [m] innerer Hebelarm; siehe oben

33.1 Grundwert

$$\rho = 0,16 \cdot \frac{f_{ctm}}{f_{yk}} []$$

$a_{s, surf}$: siehe Tabelle NA.J.4.1 $\leq 3,35 \text{ cm}^2/\text{m}$

Hinweis:
Tabellenwert muss noch mit 100cm/m multipliziert werden.

Tabelle NA.J.4.1 — Mindestoberflächenbewehrung für die verschiedenen Bereiche eines vorgespannten Bauteils

| Bauteilbereich | 1 | 2 | 3 | 4 | |
|----------------|--|--|---|------------------------|------------------------|
| | Platten, Gurtplatten und breite Balken mit $b_w > h$ je m | | Balken mit $b_w \leq h$ und Stege von Plattenbalken und Kastenträgern | | |
| | XC1 bis XC4 | sonstige | XC1 bis XC4 | sonstige | |
| 1 | - bei Balken an jeder Seitenfläche - bei Platten mit $h \geq 1,0 \text{ m}$ an jedem gestützten oder nicht gestützten Rand ^a | $0,5 \rho h$ bzw. $0,5 \rho h_f$ | $1,0 \rho h$ bzw. $1,0 \rho h_f$ | $0,5 \rho b_w$ je m | $1,0 \rho b_w$ je m |
| 2 | - in der Druckzone von Balken und Platten am äußeren Rand ^b - in der vorgedrückten Zugzone von Platten ^{a, b} | $0,5 \rho h$ bzw. $0,5 \rho h_f$ | $1,0 \rho h$ bzw. $1,0 \rho h_f$ | — | $1,0 \rho h b_w$ |
| 3 | - in Druckgurten mit $h > 120 \text{ mm}$ (obere und untere Lage je für sich) ^a | — | $1,0 \rho h_f$ | — | — |

^a Eine Oberflächenbewehrung größer als $3,35 \text{ cm}^2/\text{m}$ je Richtung ist nicht erforderlich.
^b Siehe Absätze (4) und (5).

Es bedeuten:

- h die Höhe des Balkens oder die Dicke der Platte;
- h_f die Dicke des Druck- oder Zuggurtes von profilierten Querschnitten;
- b_w die Stegbreite des Balkens;
- ρ der Grundwert nach 9.2.2 (5), Gleichung (9.5aDE).

Die Oberflächenbewehrung ist in der Zug- und Druckzone von Platten in Form von Bewehrungsnetzen anzutragen, die aus zwei sich annähernd rechtwinklig kreuzenden Bewehrungslagen mit der jeweils nach Tab. NA.J.4.1 erforderlichen Querschnittsfläche bestehen. Dabei darf der Stababstand 200mm nicht überschritten werden.

Eine Überlagerung der Mindestbewehrung zur Begrenzung der Rissbreite sowie Bewehrung für das Duktilitätskriterium muss nicht vorgenommen werden.

34.1 Ermittlung der Querzugkraft

34.1.1 Rechteckquerschnitt - zentrische Lage der Ankerplatte/Ankerkörper

$$Z_p = \frac{1}{2} \cdot P_{m0} \cdot \tan(33,7) \cdot \left(1 - \frac{h_1}{h}\right) [\text{kN}]$$

Hinweis:

der Ausbreitungswinkel der Vorspannkraft kann nach DIN EN 1992-1-1/NA:2011-01;8.10.3(5) mit $\arctan(2/3)$ angenommen werden.

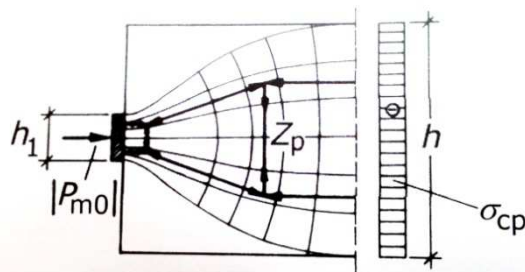


Abbildung 17: [5]

34.1.2 Rechteckquerschnitt - exzentrische Lage der Ankerplatte

$$Z_p = \frac{P_{m0}}{3} \cdot \left(1 - \frac{h_1}{h}\right) [\text{kN}]$$

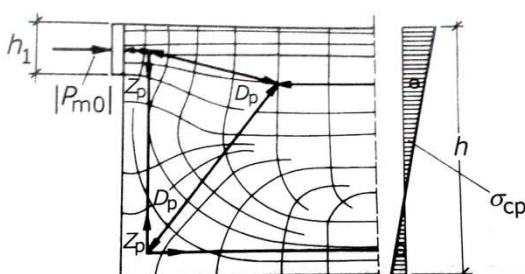


Abbildung 18: [5]

34.1.3 Rechteckquerschnitt – Wirkungslinie außerhalb Spannungsresultierende nach DAfStb Heft 240

$$Z_S = 0,25 \cdot P \cdot \left(1 - \frac{d_1}{2 \cdot e'}\right) [\text{kN}]$$

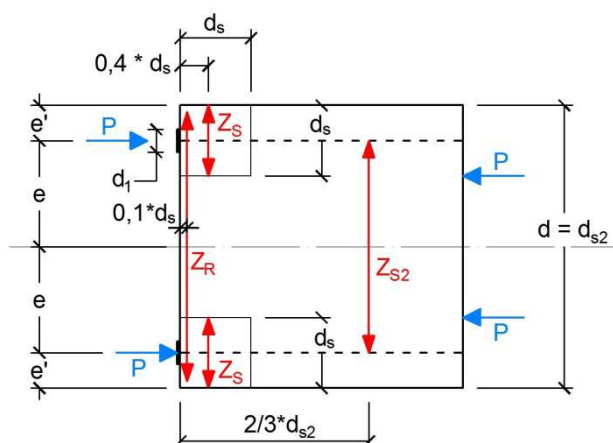
$$Z_{S2} = 0,3 \cdot Z_R [\text{kN}]$$

$$Z_R = \frac{M_F}{z_F} = \frac{P \cdot e}{0,6 \cdot 2 \cdot e} = \frac{P}{1,2} [\text{kN}]$$

$$d_s = 2 \cdot e'$$

Hinweis:

$z_F = 0,6 \cdot L$ und $L = 2 \cdot e$ (vgl. Abschnitt 4.2 Heft 240)



34.1.4 Plattenbalkenquerschnitt

$$Z_p = \frac{1}{2} \cdot P_{m0} \cdot \tan(33,7) \cdot \left(1 - \frac{h_1 \cdot b_w}{A_c}\right) [\text{kN}]$$

Hinweis:

der Ausbreitungswinkel der Vorspannkraft kann nach DIN EN 1992-1-1/NA:2011-01;8.10.3(5) mit $\arctan(2/3)$ angenommen werden.

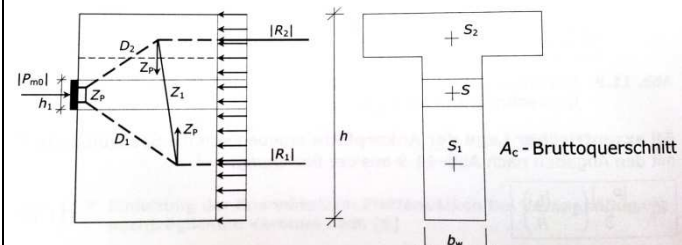


Abbildung 19: [5]

34.2 Erforderliche Querzugbewehrung

$$\text{erf.A} = \frac{\gamma_{p,\text{unfav}} \cdot Z_p}{30} [\text{cm}^2]$$

Nach der BBV-Zulassung muss z.B. die Aufnahme der Kräfte außerhalb der Wendel bzw. ab dem Übergangsteil bei Verbundankern nachgewiesen werden. Die Bewehrung kann nach [5] z.B. im Bereich $2 \cdot e_0$ eingelegt werden.

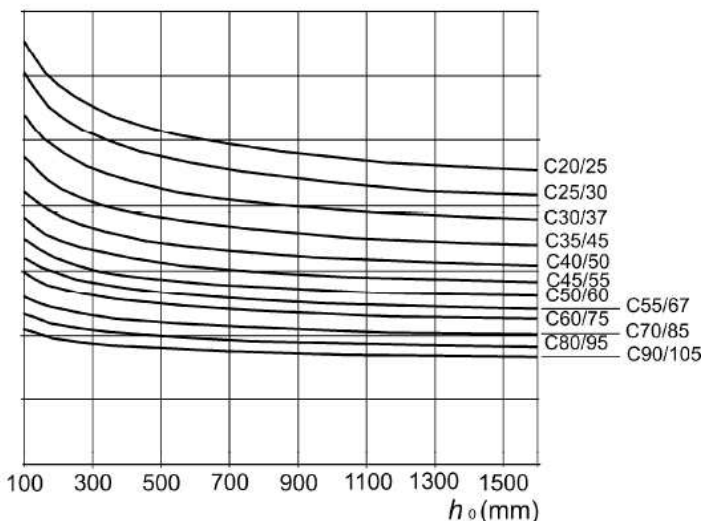
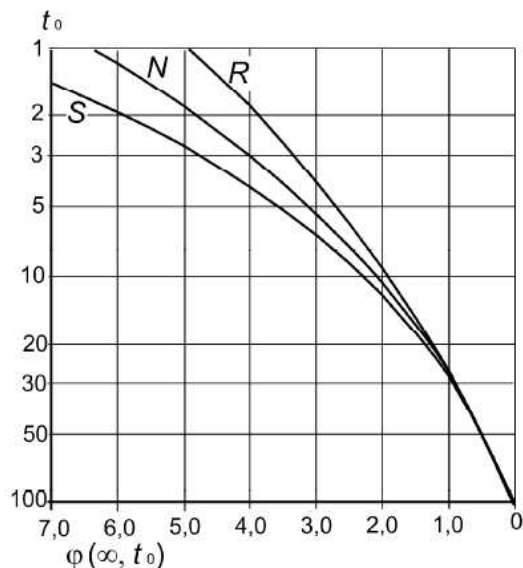
$\gamma_{p,\text{unfav}}$: [] Sicherheitsbeiwert; $\gamma_{p,\text{unfav}} = 1,35$ (s. NDP Zu 2.4.2.2 (3))
 e_0 : [cm] kleinster Abstand zwischen Bauteilrand und der Achse der Krafteinleitung in vertikaler Richtung. In der Regel: $e_0 = 2 \cdot Z_{so}$

Hinweis:

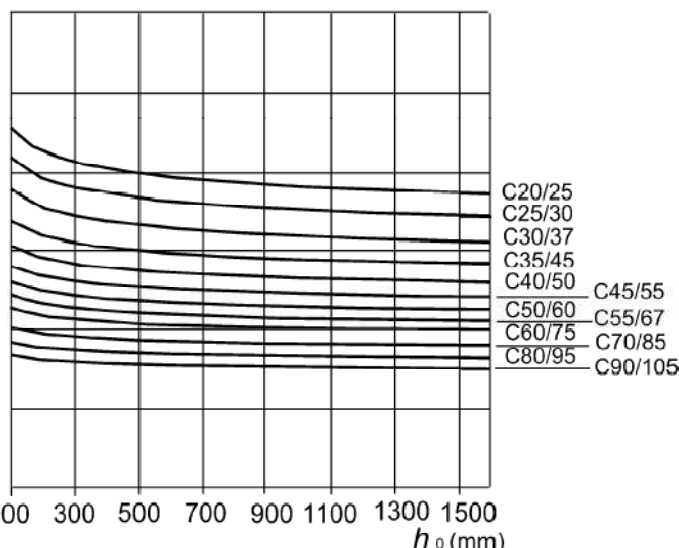
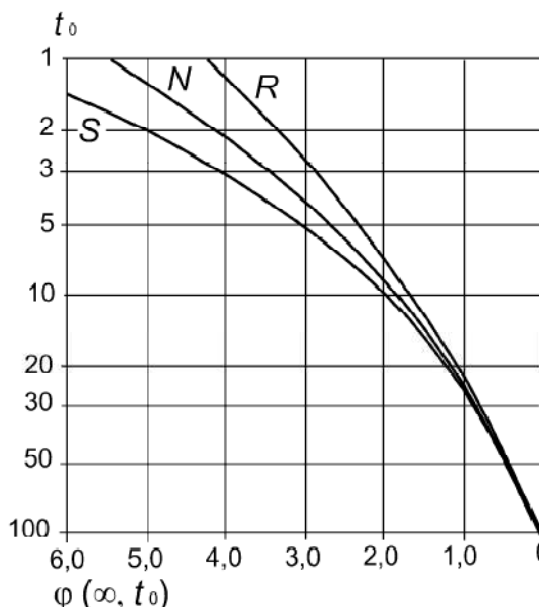
Bei der Bemessung wird mit der Streckgrenze $f_yd = 300 \text{ N/mm}^2$ gerechnet, damit gewisse Rissbreiten nicht überschritten werden. (DIN EN 1992-1-1/NA:2011-01;8.10.3(4))

35 Nachweis im Verankerungsbereich – Sofortiger Verbund

| 35.1 Mittelwert der zentrischen Zugfestigkeit des Betons zum Zeitpunkt der Vorspannung | |
|---|--|
| Druckfestigkeit des Betons bei Vorspannung bekannt: für ≤ C50/60: $f_{ctm}(t) = 0,3 \cdot (x \cdot f_{ck})^{\frac{2}{3}} \text{ [N/mm}^2]$ | x: [] Faktor zur Ermittlung der Betondruckfestigkeit zum Zeitpunkt der Vorspannung |
| allgemein: siehe DIN EN 1992-1-1; 3.1.2(9) | |
| 35.2 Betonzugfestigkeit zum Zeitpunkt des Absetzens der Spannkraft | |
| $f_{ctd}(t) = \alpha_{ct} \cdot 0,7 \cdot \frac{f_{ctm}(t)}{\gamma_c} \text{ [N/mm}^2]$ | α_{ct} : [] Beiwert zur Berücksichtigung von Langzeitauswirkungen auf die Betonzugfestigkeit und von ungünstigen Auswirkungen durch die Art der Beanspruchung. $\alpha_{ct} = 0,85$ γ_c : [] Teilsicherheitsbeiwert für Beton; ständige und vorübergehende Bemessungssituation: $\gamma_c = 1,5$ |
| 35.3 Konstante Verbundspannung | |
| $f_{bpt} = \eta_{p1} \cdot \eta_1 \cdot f_{ctd}(t) \text{ [N/mm}^2]$ Hinweis: gilt nur für übliche (nicht verdichtete Litzen) mit $A_p \leq 100\text{mm}^2$ | η_1 : [] Beiwert, der die Qualität der Verbundbedingungen und die Lage der Stäbe während des Betonierens berücksichtigt. gute Verbundbedingungen: $\eta = 1,0$ andere Verbundbedingungen: $\eta = 0,7$ η_{p1} : [] Beiwert zur Berücksichtigung der Art des Spannglieds und der Verbundbedingungen beim Absetzen der Spannkraft. Litzen: $\eta_{p1} = 2,85$ Profilierte Drähte mit $\varnothing \leq 8\text{mm}$: $\eta_{p1} = 2,85$ |
| 35.4 Grundwert der Übertragungslänge | |
| $l_{pt} = \alpha_1 \cdot \alpha_2 \cdot \varnothing \cdot \frac{\sigma_{pm0}}{f_{bpt}} \text{ [mm]}$ | α_1 : [] Beiwert schrittweise Absetzen der Spannkraft: $\alpha_1 = 1,0$ plötzliches Absetzen der Spannkraft: $\alpha_1 = 1,25$ α_2 : [] Beiwert Spannstahl mit rundem Querschnitt: $\alpha_2 = 0,25$ Litzen mit 3 oder 7 Drähten: $\alpha_2 = 0,19$ σ_{pm0} : [N/mm ²] Spannstahlspannung direkt nach dem Absetzen der Spannkraft. \varnothing : [mm] Nenndurchmesser einer Litze |
| 35.5 Bemessungswert der Übertragungslänge | |
| Nachweis der örtlichen Spannungen: $l_{pt1} = 0,8 \cdot l_{pt} \text{ [mm]}$ Nachweis der Verankerung: $l_{pt2} = 1,2 \cdot l_{pt} \text{ [mm]}$ | |
| 35.6 Verankerungsbereich | |
| $l_{disp} = \sqrt{l_{pt}^2 + d_p^2} \text{ [mm]}$ Hinweis: Die Verankerung der Vorspannkraft ist nachgewiesen, wenn innerhalb dem Verankerungsbereich l_{disp} keine Risse vorhanden sind: $\sigma_{x=l_{disp}} \leq f_{ctk,0,05}$ Falls $\sigma_{x=l_{disp}} > f_{ctk,0,05}$ → siehe DIN EN 1992-1-1/NA:2013-04; NCI Zu 8.10.2.3 (1) | l_{pt} : [mm] Bemessungswert der maßgebenden Übertragungslänge d_p : [cm] statische Nutzhöhe bis zum Schwerpunkt der Spannstahlbewehrung l_{disp} : [cm] Eintragungslänge, nach der die Betonspannungen einen linearen Verlauf über den Beonquerschnitt annehmen |
| 35.7 Spannung an der Stelle $x = l_{disp}$ | |
| → Wenn die Spannung am unteren Querschnittsrands kleiner als $f_{ctk,0,05}$ ist, ist der NW erbracht. $\sigma_{cu} = \frac{M_{Ed} \cdot 100}{l_{ci}} \cdot Z_{ci,u} - \frac{r_{inf} \cdot \alpha_{CSR} \cdot P_0}{A_{ci}} - \frac{r_{inf} \cdot \alpha_{CSR} \cdot P_0 \cdot Z_{cip}}{l_{ci}} \cdot Z_{ci,u}$ [kN/cm ²] | M_{Ed} : [kNm] $M_{Ed} = 1,35 \cdot M_{g,k} + 1,5 \cdot M_{q,k}$ |
| 35.8 Querbewehrung im Auflagerbereich (nach Kupfer BK 94 Teil 1 Seite 666) | |
| | |

36.1 Ermittlung Kriechzahl φ_t - grafisch

a) trockene Innenräume, relative Luftfeuchte = 50%



b) Außenluft, relative Luftfeuchte = 80%

Bild 3.1 — Methode zur Bestimmung der Kriechzahl $\varphi(\infty, t_0)$ für Beton bei normalen Umgebungsbedingungen

$$h_0: [\text{mm}] \text{ wirksame Querschnittsdicke} = \frac{2 \cdot A_c}{u} \cdot 10$$

$A_c: [\text{cm}^2]$ Betonquerschnittsfläche

$u: [\text{cm}]$ Umfang der dem trocknen ausgesetzten Querschnittsfläche = $2 \cdot b_{\text{eff}} + 2 \cdot h_{\text{pl}}$

Klasse R: CEM 42,5R, CEM 52,5N, CEM 52,5R

Klasse N: CEM 32,5R, CEM 42,5N

Klasse S: CEM 32,5N

Hinweise:

- Die Kriechzahlen müssen für jeden Lastfall separat ermittelt werden.
- Für Verkehrslasten braucht keine Kriechzahl ermittelt zu werden, da nur kurzzeitige Belastung.
- Beim Schwinden ist das Alter bei Belastungsbeginn in der Regel mit einem Tag anzunehmen. (DIN EN 1994-1-1/5.4.2.2(4))
- Belastungsbeginn bei Ausbaulast i.d.R. $t_0 = 28$ Tage.
- Bei Verwendung eines Profilbleches kann die Unterseite des Betons nicht austrocknen. $u = b_{\text{eff}} + 2 \cdot h_{\text{pl}}$

36.2 Ermittlung der Kriechzahl - analytisch

36.2.1 Wirksame Bauteilhöhe

$$h_0 = \frac{2 \cdot A_c}{u} \cdot 10 \text{ [mm]}$$

A_c: [cm²] Betonquerschnittsfläche = b_{eff} • h_{pl}
u: [cm] Umfang der dem trocknen ausgesetzten Querschnittsfläche = 2 • b_{eff} + 2 • h_{pl}

36.2.2 Beiwerter zur Berücksichtigung des Einflusses der Betondruckfestigkeit

wenn f_{cm} > 35 N/mm²:

$$\alpha_1 = \left[\frac{35}{f_{cm}} \right]^{0,7} \quad \alpha_2 = \left[\frac{35}{f_{cm}} \right]^{0,2} \quad \alpha_3 = \left[\frac{35}{f_{cm}} \right]^{0,5}$$

f_{cm}: [N/mm²] mittlere Zylinderdruckfestigkeit des Betons nach 28 Tagen = f_{ck} + 8

wenn f_{cm} ≤ 35 N/mm²:

$$\alpha_1 = 1,0 \quad \alpha_2 = 1,0 \quad \alpha_3 = 1,0$$

36.2.3 Beiwert zur Berücksichtigung der RH auf die Grundzahl des Kriechens

$$\Phi_{RH} = \left[1 + \frac{1 - 0,01 \cdot RH}{0,1 \cdot \sqrt[3]{h_0}} \cdot \alpha_1 \right] \cdot \alpha_2 \quad []$$

RH: [%] relative Luftfeuchte der Umgebung
h₀: [mm] siehe oben

36.2.4 Beiwert zur Berücksichtigung der Betondruckfestigkeit auf die Grundzahl des Kriechens

$$\beta(f_{cm}) = \frac{16,8}{\sqrt{f_{cm}}} \quad []$$

f_{cm}: [N/mm²] mittlere Zylinderdruckfestigkeit des Betons nach 28 Tagen = f_{ck} + 8

36.2.5 wirksames Betonalter unter Berücksichtigung der Zementart

$$t_{0,eff} = t_{0,T} \cdot \left[\frac{9}{2 + (t_{0,T})^{1,2}} + 1 \right]^{\alpha} \geq 0,5 \quad [d]$$

t_{0,T}: [d] der Temperatur angepasste Betonalter bei Belastungsbeginn. → Annahme d = 1
α: siehe Tab.

Hinweis:
Vereinfacht: t_{0,eff} = t₀

| Zementart | Klasse | α |
|---------------------------------|--------|----|
| CEM 32,5N | S | -1 |
| CEM 32,5R, CEM 42,5N | N | 0 |
| CEM 42,5R, CEM 52,5N, CEM 52,5R | R | 1 |

36.2.6 Beiwert zur Berücksichtigung des Betonalters bei Erstbelastung

$$\beta(t_0) = \frac{1}{0,1 + (t_{0,eff})^{0,2}} \quad []$$

t_{0,eff}: [d] siehe oben

36.2.7 Grundzahl des Kriechens

$$\varphi_0 = \Phi_{RH} \cdot \beta(f_{cm}) \cdot \beta(t_0) \quad []$$

36.2.8 Beiwert zur Berücksichtigung von RH und h₀

t = ∞ → β_H = 0 → weiter mit Kriechzahl zum Zeitpunkt t

RH: [%] rel. Luftfeuchte

$$t \neq \infty \rightarrow \beta_H = \min \left\{ 1,5 \cdot [1 + (0,012 \cdot RH)^{18}] \cdot h_0 + 250 \cdot \alpha_3, 1500 \cdot \alpha_3 \right\}$$

Außenbauteil: RH = 80 %
Innenbauteil: RH = 50%

h₀: [mm] siehe oben

α₃: [] siehe oben

36.2.9 Beiwert zur Beschreibung der zeitlichen Entwicklung des Kriechens nach Belastungsbeginn

t = ∞ → β_c(t, t₀) = 1 → weiter mit Kriechzahl zum Zeitpunkt t

t: [d] Betonalter bei dem die Kriechzahl gesucht ist
→ t = ∞ ≈ 70 Jahre ≈ 30000d

$$t \neq \infty \rightarrow \beta_c(t, t_0) = \left[\frac{(t - t_0)}{\beta_H + (t - t_0)} \right]^{0,3}$$

t₀: [d] Betonalter bei Belastungsbeginn
→ Annahme t₀ = 1

36.2.10 Kriechzahl zum Zeitpunkt t

$$\varphi(t, t_0) = \varphi_0 \cdot \beta_c(t, t_0) \quad []$$

37 Ermittlung des Schwindmaßes

| 37.1 Ermittlung des Schwindmaßes - analytisch | | | | | | |
|---|--------|----------|---|---|---|--|
| 37.1.1 Wirksame Bauteilhöhe | | | | | | |
| $h_0 = \frac{2 \cdot A_c}{u} \cdot 10 \text{ [mm]}$ | | | | A _c : [cm ²] Betonquerschnittsfläche u: [cm] Umfang der dem trocknen ausgesetzten Querschnittsfläche = 2 • b _{eff} + 2 • h _{pl} | | |
| 37.1.2 Beiwert für den Einfluss der Umgebungsfeuchte | | | | | | |
| $\beta_{RH} = 1,55 \cdot [1 - (0,01 \cdot RH)^3]$ | | | | RH: [%] rel. Feuchte der Umgebung | | |
| 37.1.3 Grundwert des Trocknungsschwindens | | | | | | |
| $\varepsilon_{cd,0} = 0,85 \cdot [(220 + 110 \cdot \alpha_{ds1}) \cdot e^{-0,1 \cdot \alpha_{ds2} \cdot f_{cm}}] \cdot 10^{-6} \cdot \beta_{RH} \text{ []}$ | | | | α_{ds1} : [] Beiwert → siehe Tabelle α_{ds2} : [] Beiwert → siehe Tabelle f_{cm} : [N/mm ²] = f _{ck} + 8 | | |
| Zementart | Klasse | α | α_{ds1} | α_{ds2} | | |
| CEM 32,5N | S | -1 | 3 | 0,13 | | |
| CEM 32,5R, CEM 42,5N | N | 0 | 4 | 0,12 | | |
| CEM 42,5R, CEM 52,5N, CEM 52,5R | R | 1 | 6 | 0,11 | | |
| 37.1.4 Beiwert zur Beschreibung des zeitlichen Verlaufes des Trocknungsschwindens | | | | | | |
| $t = \infty:$ $\beta_{ds}(t, t_s) = 1,0$ | | | h_0 : [mm] siehe oben t: [d] Betonalter zum betrachteten Zeitpunkt → t = ∞ ≈ 70 Jahre ≈ 30000d t_s : [d] Betonalter zu Beginn des Trocknungsschwinden. Normalerweise zum Ende der Nachbehandlung. Beim Schwinden ist das Alter bei Belastungsbeginn in der Regel mit einem Tag anzunehmen. (DIN EN 1994-1-1/5.4.2.2) | | | |
| $t \neq \infty:$ $\beta_{ds}(t, t_s) = \frac{(t - t_s)}{(t - t_s) + 0,04 \cdot \sqrt{(h_0)^3}} \text{ []}$ | | | | | | |
| 37.1.5 Trocknungsschwinddehnung zum Zeitpunkt t | | | | | | |
| $\varepsilon_{cd}(t, t_s) = \beta_{ds}(t, t_s) \cdot k_h \cdot \varepsilon_{cd,0} \text{ []}$ | | | | k_h : [] Koeffizient, → siehe Tabelle | | |
| h_0 | 100 | 200 | 300 | ≥ 500 | $k_{h,max} = k_h$ -Wert, der der größeren wirksamen Bauteilhöhe zugeordnet ist. $k_{h,min} = k_h$ -Wert, der der kleineren wirksamen Bauteilhöhe zugeordnet ist. | |
| k_h | 1,0 | 0,85 | 0,75 | 0,7 | | |
| Hinweis: Zwischenwerte linear interpolieren $k_h = k_{h,max} + \frac{h_0,max - h_0,vorh.}{h_0,max - h_0,min} \cdot (k_{h,min} - k_{h,max})$ | | | | | | |
| 37.1.6 Beiwert zur Beschreibung des zeitlichen Verlaufs | | | | | | |
| $t = \infty:$ $\beta_{as}(t) = 1,0$ | | | t: [d] Betonalter bei dem der Schwindbeiwert gesucht ist → t = ∞ ≈ 70 Jahre ≈ 30000d | | | |
| $t \neq \infty:$ $\beta_{as}(t) = 1 - e^{-0,2 \cdot \sqrt{t}} \text{ []}$ | | | | | | |
| 37.1.7 Autogene Schwinddehnung | | | | | | |
| $\varepsilon_{ca}(t) = \beta_{as}(t) \cdot 2,5 \cdot (f_{ck} - 10) \cdot 10^{-6} \text{ []}$ | | | | α_{as} : siehe Tabelle oben f_{ck} : [N/mm ²] | | |
| 37.1.8 Schwinddehnung zum Zeitpunkt t | | | | | | |
| $\varepsilon_{cs}(t, t_s) = \varepsilon_{ca}(t) + \varepsilon_{cd}(t, t_s) \text{ []}$ | | | | | | |

38 Relaxation nach EC2

38.1 Hinweise

Die relaxationsbedingten Spannkraftverluste müssen in Deutschland aus der Zulassung entnommen werden.

38.2 Relaxationsklasse

Nach DIN EN 1992-1-1/NA:2013-04 ist die Relaxationsklasse aus der Zulassung zu entnehmen.

Wenn keine Angabe gegeben:

Klasse 1: Drähte (normale Relaxation)

Klasse 2: Litze (niedrige Relaxation)

Klasse 3: Stäbe

38.3 Absoluter Wert der Spannungsänderung

Nach EC2; NCI Zu 3.3.2 (4)P: $\Delta\sigma_{pr}$ ist aus der Zulassung zu entnehmen.

Falls dort Angaben fehlen:

1) aus Abbildung $\frac{\Delta\sigma_{pr}}{\sigma_{pm0}}$ [%] ablesen

σ_{pm0} : [N/mm²] Ausgangsspannung

2) $\Delta\sigma_{pr} = 3 \cdot \text{Ablesewert} \cdot \sigma_{pm0} \cdot 0,01$ [N/mm²]

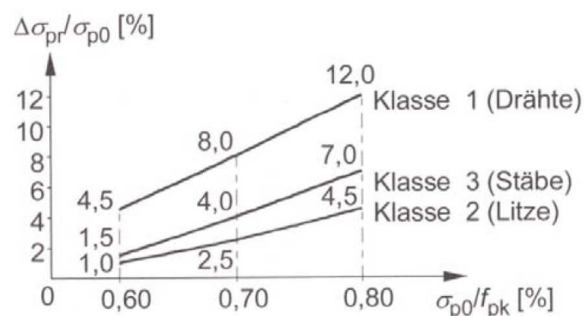


Abbildung 20: Relaxation [15]

38.4 Zeitabhängige Spannkraftverluste (s. EC2: 2011-01; 5.10.6)

$$\Delta\sigma_{p,c+s+r} = \frac{|\varepsilon_{cs}| \cdot 10^{-3} \cdot E_p + 0,8 \cdot \Delta\sigma_{pr} + \alpha_p \cdot \varphi(t,t_0) \cdot \sigma_{c,qp}}{1 + \alpha_p \cdot \frac{A_p}{A_c} \cdot \left(1 + \frac{A_c}{I_c} \cdot z_{cp}^2\right) \cdot (1 + 0,8 \cdot \varphi(t,t_0))} [\text{N/mm}^2]$$

Hinweis: Druckspannungen sind positiv einzusetzen

ε_{cs} : [%] Schwinddehnung zum Zeitpunkt t (i.d.R t = ∞)

α_p : [] Verhältnis der E-Moduln; $\alpha_p = E_p/E_{cm}$

$\Delta\sigma_{pr}$: [N/mm²] Absoluter Wert der Spannungsänderung an der Stelle x zum Zeitpunkt t. $\Delta\sigma_{pr}$ darf mit den Angaben aus der Zulassung für das Verhältnis der Ausgangsspannung zur charakteristischen Zugfestigkeit (σ_p/f_{pk}) bestimmt werden.

f_{pk} : [N/mm²] charakteristischer Wert der Zugfestigkeit des Spannstahls. St1570/1770: $f_{pk} = 1770$ N/mm²

$\varphi(t,t_0)$: [] Kriechbeiwert zum Zeitpunkt t bei Belastungsbeginn t_0

E_p : [N/mm²] E-Modul des Spannstahls; i.d.R. $E_p = 195.000$

E_{cm} : [N/mm²] E-Modul des Beton

$\sigma_{c,qp}$: [N/mm²] Betonspannung in Höhe der Spannglieder infolge quasi-ständiger Einwirkungskombination zum Zeitpunkt t

A_p : [cm²] Querschnittsfläche aller Spannglieder an der Stelle x

A_c : [cm²] Bruttoquerschnittsfläche des Betons

I_c : [cm⁴] Flächenträgheitsmoment des Betonquerschnittes

z_{cp} : [cm] Abstand zwischen dem Schwerpunkt des Bruttoquerschnittes und den Spanngliedern

38.5 Relaxationsbeiwert

$$\alpha_{csr} = 1 - \frac{|\Delta\sigma_{p,csr}|}{\sigma_{pm0}} \geq \alpha_{csr} \text{ Annahme } (\pm 5\% \text{ OK})$$